

港 湾 技 研 資 料

TECHNICAL NOTE OF
THE PORT AND HARBOUR RESEARCH INSTITUTE
MINISTRY OF TRANSPORT, JAPAN

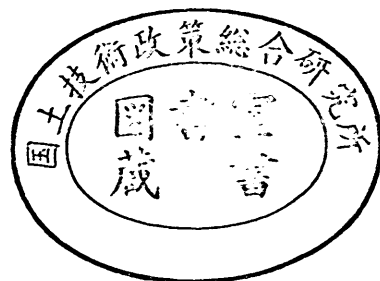
No.369

Mar. 1981

最小自乗法による潮汐・潮流の調和分解とその精度

村 上 和 男

運輸省港湾技術研究所



目 次

要 旨	1
1. ま え が き	1
2. 潮汐の調和分解	1
2. 1 潮汐の起潮力	1
2. 2 平衡潮汐論	3
2. 3 潮汐の調和分解	4
2. 4 最小自乗法による調和分解法	7
3. 調和分解結果とその精度	9
3. 1 潮汐（潮流）の観測期間	9
3. 2 K_1 と P_1 潮, S_2 と K_2 潮および N_2 と ν_2 潮の分離	10
3. 3 観測期間の長さによる調和分解の精度および最適な分離法	11
3. 4 気圧変動, 欠測などによる調和分解の誤差	27
3. 5 長期間の観測結果に基づく調和定数の変動	30
4. 潮流の調和分解	32
4. 1 潮流の調和分解	32
4. 2 潮流楕円	34
5. ま と め	37
参 考 文 献	37

The Harmonic Analysis of Tides and Tidal Currents by Least Square Method and Its Accuracy

Kazuo MURAKAMI*

Synopsis

This paper describes the investigation on the accuracy of the harmonic analysis of tides and tidal currents by least square method. Over a short period, the method may be unable to separate correctly two harmonics that are close in frequency. After the calculation, however, these harmonics can be separated correctly using the assumption of the Equilibrium Theory of Tide.

Tidal waves, which are synthesized with harmonic constants of Yokohama Port by computer, are separated to several harmonic constants by least square method. The differences between input harmonic constants and output results are estimated. Furthermore, estimate of the error due to atmospheric pressure fluctuation or data missing is investigated with several calculation tests.

Results of these calculations, 10 harmonics are separated for 15 days observation, and 13 harmonics are separated for 1 month observation. An influence of atmospheric pressure fluctuation on harmonic constants is negligible when the term of observation is long enough. And, an influence of data missing on harmonic constants is not so large if the term of data missing is less than 25 percent of total observation term.

* Chief of Marine Diffusion Laboratory, Marine Hydrodynamics Division

最小自乗法による潮汐・潮流の調和分解とその精度

村上 和男*

要 旨

比較的短い観測期間のデータに関して、最小自乗法による潮汐・潮流の調和分解の精度の検討を行った。横浜港の調和定数を用い、計算機の中でそれらを合成することにより潮汐波を作成する。この潮汐波の一定期間の値を用いて、再び各分潮に分解した場合、得られた結果にどの程度誤差が含まれるかを、試算によって検討した。また、実際の潮位記録を用いて調和定数値の変動、および気圧変動、欠測などが調和定数に与える影響を検討した。

試算の結果、15日間の観測データでは10分潮、1か月間の観測データでは13分潮に分解するのが精度良いことがわかった。ただし、分潮のスピードが非常に近い K_1 と P_1 潮、 S_2 と K_2 潮、および N_2 と ν_2 潮については、平衡潮汐論により求められた各分潮間の振幅の比率が測定点においても成立するという仮定に基づいて分離する必要がある。気圧の変動による調和定数の変化は、1か月間観測の場合、たかだか1cmである。また、3か月と比較的観測期間が長くなると、0.5 cm以下になり、気圧変動による影響は小さいと考えられる。

欠測による誤差は、15日間あるいは1か月間観測の場合、欠測期間が観測期間の1/4以下であれば、その影響は大きくないと考えられる。

1. まえがき

最近、沿岸海域の潮位・潮流観測が頻繁に行なわれている。これは、汚染問題を論ずるうえにも、また拡散問題を論ずるうえにも、流れが最も重要な要因のひとつであることを示している。

流れのデータを解析するにおいて、潮流の調和分解がよく用いられる。これは、調和分解が流れの成分を知るうえで、最も有効な方法であること、さらに沿岸域、特に閉鎖性の内湾では、潮流成分が流れの主要因であることに起因している。

しかしながら、流れの観測は測定点に流速計を設置し、それを長期間にわたって固定しなければならないために、観測期間が十分に長く取れないのが現状である。また、流速計の維持管理が難しいことから、データの欠測がよくみられる。さらに、流れには潮流成分のみならず、他の要因（例えば風、波、密度流）による流れ成分も大きく、現象は複雑である。

この様な観点から、ここでは比較的精度よく、かつ長時間の測定が容易な潮位のデータを用いて、短期間の観測による潮汐の調和分解法の精度についての検討を行なった。

潮汐の調和分解は、古くから種々の方法によって行なわれている。ここでは、電子計算機の発達によって開発された最小自乗法による方法¹⁾を用いた。また、短期間

の観測データからでは分離が難しい分潮(K_1 と P_1 、 S_2 と K_2 、および N_2 と ν_2)については、彦坂ら²⁾の方法によって分離した。一般に、15日間観測では10分潮、1か月間観測では13分潮の成分に分離が可能であるとされている。ここでは、最小自乗法によって得られた調和定数値の精度について、計算機によって作られた潮汐波、あるいは現地の観測データを用いて検討した。さらに、潮位に影響を及ぼす気圧変動または欠測があった場合などの調和定数値に与える影響について試算した。

本論文では、2に潮汐の調和分解について、3に最小自乗法による調和分解の精度について、4に潮流の調和分解について、5にまとめという構成になっている。

なお、本計算に用いたプログラムは、当研究所のもつプログラムライブラリ³⁾(若干の修正を含む)であり、本資料は、プログラムライブラリーの使用に際して参考となるものと考えられる。

2. 潮汐の調和分解

2.1 潮汐の起潮力^{4),5)}

海岸に立って海面を眺めていると、普通1日2回の海面の昇降運動が見られる。この現象が潮汐(tide)である。この潮汐によって引き起こされる流れが潮流(tidal current)であり、一般に1日2回の上げ潮、下げ潮を

繰り返す。

地球上に潮汐現象が発生する最も大きな要因は、月（太陰）と太陽の引力が地球表面の各点において異なることである。いま月と地球のみが存在するものとして、この起潮力について考える。月は地球の周りを約 27 日（27.3217 日）で 1 公転する。厳密に云えば、月の中心と地球の中心とは、各々の共通の重心のまわりを約 27 日で 1 公転する。地球の質量は月の質量の約 80 倍、月と地球との間の距離は地球の半径の約 60 倍であることから、月と地球との共通重心は地球の内部にあることになる。図-1 に示すごとく、地球中心 O が共通重心 G のまわりを

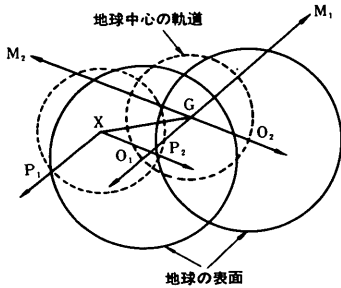


図-1 地球と月の公転と遠心力⁵⁾

公転して円運動を行うことになる。或る時の地球の中心の位置を O_1 、地球表面の任意の点を P_1 とする。地球の中心が O_2 にきたとき、地球表面の点は P_2 にくる。このように、 O_1 、 O_2 は G を中心とした円周上にあり、 P_1 、 P_2 は X を中心とした円周上にある。 XP_1 と GO_1 および XP_2 と GO_2 は平行の関係にあり、かつ $XP_1 = XP_2 = GO_1 = GO_2$ であるので、 P 点と O 点における遠心力は等しくなる。すなわち、地球上における遠心力の値はすべて一定である。

地球全体に働く全遠心力は、月による全引力と釣り合っていないなければならない。しかし、この月による引力は地球上のあらゆる点で等しい訳ではなく、ある点では遠心力の方が大きく、また他の点では逆に、引力の方が大きくなる。この地球表面上での点 P における引力と、地球中心 O における引力との差が起潮力 (tide-generating force) となる。

図-2 において、 E は地球の中心、 M は月の中心である。 P を地球表面上の任意の一点とすると、 P における月の引力は

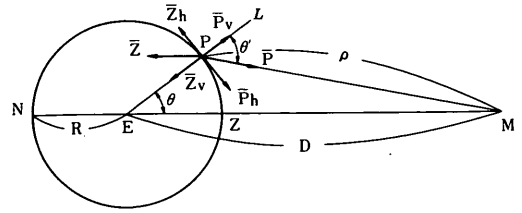


図-2 地球上の一点に働く起潮力⁵⁾

$$\vec{P} = \frac{KM}{\rho^2} \quad (1)$$

であり、 PM の方向に作用している。また、 P における遠心力は

$$\vec{Z} = \frac{KM}{D^2} \quad (2)$$

であり、 ME と平行の方向に作用している。ここにおいて、

\vec{P} : 点 P における月の引力

\vec{Z} : 点 P における遠心力

R : 地球の半径

K : 万有引力の定数

M : 月の質量

ρ : 地球表面上の任意点 P から月までの距離

D : 地球中心 E から月までの距離

を表す。したがって、点 P における引力および遠心力の水平成分および鉛直成分は

$$\vec{P}_h = K \frac{M}{\rho^2} \sin \theta' \quad (3)$$

$$\vec{P}_v = K \frac{M}{\rho^2} \cos \theta' \quad (4)$$

および、

$$\vec{Z}_h = K \frac{M}{D^2} \sin \theta \quad (5)$$

$$\vec{Z}_v = K \frac{M}{D^2} \cos \theta \quad (6)$$

となる。ここにおいて、

θ : 地心天頂距離 ($\angle MEP$)

θ' : 天頂距離 ($\angle MPL$)

である。したがって、引力と遠心力の差によって得られる起潮力の水平および鉛直成分は、

$$\vec{f}_h = \vec{P}_h - \vec{Z}_h = KM \left(\frac{\sin \theta'}{\rho^2} - \frac{\sin \theta}{D^2} \right) \quad (7)$$

$$\vec{f}_v = \vec{P}_v - \vec{Z}_v = KM \left(\frac{\cos \theta'}{\rho^2} - \frac{\cos \theta}{D^2} \right) \quad (8)$$

となる。三角形 EPM において、次に示す三角公式

$$\sin \theta' = \frac{D \sin \theta}{\rho} \quad (9)$$

$$\cos \theta' = \frac{D \cos \theta - R}{\rho} \quad (10)$$

$$\rho = D \left(1 + \frac{R^2}{D^2} - \frac{2R}{D} \cos \theta \right)^{1/2} \quad (11)$$

を式(7)、式(8)に代入し、高次の微小項を省略すると、

$$\vec{f}_h = \frac{3}{2} K \frac{MR}{D^3} \sin 2\theta \quad (12)$$

$$\vec{f}_v = 3K \frac{MR}{D^3} \left(\cos^2 \theta - \frac{1}{3} \right) \quad (13)$$

が得られる。これらの関係式をポテンシャルを用いて表わすと次式となる。

$$\Omega = -\frac{3}{2} K \frac{MR^2}{D^3} \left(\cos^2 \theta - \frac{1}{3} \right) \quad (14)$$

ここに、

$$\vec{f}_v = -\frac{\partial \Omega}{\partial R} \quad (15)$$

$$\vec{f}_h = \frac{\partial \Omega}{R \partial \theta} \quad (16)$$

である。この Ω を起潮ポテンシャル (tide-generating potential) という。

太陽についても、同様の関係式が得られる。

$$\vec{f}_{sh} = \frac{3}{2} K \frac{SR}{D_s^3} \sin 2\theta_s \quad (17)$$

$$\vec{f}_{sv} = 3K \frac{SR}{D_s^3} \left(\cos^2 \theta_s - \frac{1}{3} \right) \quad (18)$$

$$\Omega_s = -\frac{3}{2} K \frac{SR^2}{D_s^3} \left(\cos^2 \theta_s - \frac{1}{3} \right) \quad (19)$$

ここにおいて、サフィックス s は、太陽についての値を示す。また、 S は太陽の質量である。

2.2 平衡潮汐論⁵⁾

平衡潮汐論 (Equilibrium theory of tide) とは、地球に対して天体が現在の位置を永久に保持した場合に、海洋の自由表面は時々刻々平衡形を維持すると仮定したもので、ニュートンによって提唱された。平衡潮汐論によれば、海洋の自由表面は重力と起潮力の合力に垂直な面で、その平衡形を維持する。月や太陽の位置は絶えず変化するので、自由表面の平衡形も絶えず変化し、それにしたがって海水の運動を起こす。そして、自由表面は天体によるその時の起潮力と重力とに、常に釣り合った形をとる。

以上のことは、重力と起潮力のポテンシャルがこの面上で一定であることを示している。したがって、

$$g \bar{\eta} + \Omega = \text{const.} \quad (20)$$

又は、

$$\bar{\eta} = -\frac{\Omega}{g} + \text{const.} \quad (21)$$

となる。ここに、 $\bar{\eta}$ は起潮力がないときの海水面からの上昇量であり、 g は重力加速度で式(20)で表わされる。

$$g = \frac{KE}{R^2} \quad (22)$$

ここに、 E は地球の質量である。式(14)、式(22)を式(21)に代入することにより、月による太陰潮 (lunar tide) の平衡潮高は

$$\bar{\eta} = \frac{3}{2} \frac{M}{E} \left(\frac{R}{D} \right)^3 R \left(\cos^2 \theta - \frac{1}{3} \right) \quad (23)$$

となる。

同様に太陽潮 (solar tide) の平衡潮高は

$$\bar{\eta}_s = \frac{3}{2} \frac{S}{E} \left(\frac{R}{D_s} \right)^3 R \left(\cos^2 \theta_s - \frac{1}{3} \right) \quad (24)$$

となる。ここに、

S : 太陽の質量

D_s : 太陽と地球中心との距離

θ_s : 太陽に対する地心天頂距離

である。

式(23)および式(24)の θ 、 θ_s は天体の位置および地球上の観測点の緯度によって変化するものである。図-3において、 O を地球の中心、 P 、 P' をそれぞれ天球の北極および南極、 EAE' を赤道、 M を太陰、 IM を太陰の軌道、 Z を観測点の天頂、 φ を観測点の緯度、 δ 、 h をそれぞれ

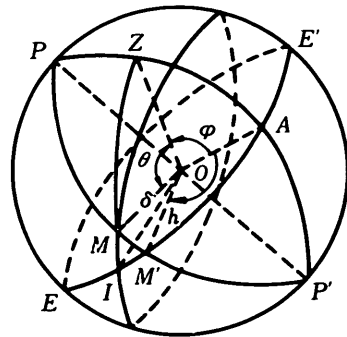


図-3 天球上の地心天頂距離、赤緯、時角⁵⁾

れ太陰の赤緯（赤道から子午線に沿って南北に測った角度）、および時角（観測点の子午線から太陰を通る子午線までの角）とすれば、

$$\cos \theta = \sin \varphi \cdot \sin \delta + \cos \varphi \cdot \cos \delta \cdot \cos h \quad (20)$$

なる関係式が得られる。これを式(24)に代入すると

$$\begin{aligned} \bar{\eta} = & \frac{3}{4} \frac{M}{E} \left(\frac{R}{D} \right)^3 R \\ & \times \left\{ \cos^2 \varphi \cdot \cos^2 \delta \cdot \cos 2h + \sin 2\varphi \cdot \sin 2\delta \cdot \cos h \right. \\ & \left. + 3 \left(\frac{1}{3} - \sin^2 \varphi \right) \cdot \left(\frac{1}{3} - \sin^2 \delta \right) \right\} \quad (21) \end{aligned}$$

となる。また、太陽潮についても、

$$\begin{aligned} \bar{\eta}_s = & \frac{3}{4} \frac{S}{E} \left(\frac{R}{D_s} \right)^3 R \\ & \times \left\{ \cos^2 \varphi \cdot \cos^2 \delta_s \cdot \sin 2h_s + \sin 2\varphi \cdot \sin 2\delta_s \cdot \cos h_s \right. \\ & \left. + 3 \left(\frac{1}{3} - \sin^2 \varphi \right) \cdot \left(\frac{1}{3} - \sin^2 \delta_s \right) \right\} \quad (22) \end{aligned}$$

で表わされる。

式(21)、式(22)中の D , D_s , δ , δ_s , h , h_s は時間とともに複雑に変化する。ダーウィンは太陰軌道の昇交点に位置に関係する 18.6 年の周期をもった因数 f , u を含む振幅と位相に関する展開を行った。これらの展開は非常に複雑であり、かつ天文学的知識が必要なため、ここでは結果を記すにとどめる。太陰潮については

$$\begin{aligned} \bar{\eta} = & \frac{3}{4} \frac{M}{E} \left(\frac{R}{D} \right)^3 R \\ & \times \left\{ \cos^2 \varphi \sum C_2(I, e) \cos(2t, s, h, p, \nu, \xi) \right. \\ & + \sin 2\varphi \sum C_1(I, e) \cos(t, s, h, p, \nu, \xi) \\ & \left. + (1 - 3 \sin^2 \varphi) \sum C_0(I, e) \cos(s, h, p, \nu, \xi) \right\} \quad (23) \end{aligned}$$

と書き表わされる。ここにおいて、

t : 地方平時

s : 太陰の平均黄経

h : 太陽の平均黄経

p : 太陰の近地点の平均黄経

e : 太陰軌道の離心率

I, ξ, ν : 太陰の軌道の昇降点の位置に関するもの

で約 18.6 年の周期で変化するもの

である。式(23)において、右辺第一項が半日周潮に属する

もの、第二項が一日周潮に属するもの、第三項が長周期潮に属するものを表わす。

太陽潮についても同様な式が、太陰に関する量の代りにこれに相当する太陽の量に置き換えることにより、得られる。太陰潮および太陽潮を総称して天文潮 (astronomical tide) と呼ぶ。

2.3 潮汐の調和分解

前節の式(23)において潮汐はたくさんの分潮の和で表わすことができることが示された。これを簡単な形で表わすと

$$\bar{\eta} = G_1 \sum_i G_2 \cdot C_i \cdot \cos(V_i + u_i) \quad (24)$$

となる。ここにおいて、

G_1 : 地球上のどこでも一定な量

G_2 : 緯度 φ に関する係数

C : e, I に関する係数

V : 時間 t とともに一様に変化する因数

u : ν, ξ に関する因数で、あるせまい範囲を周期的に変化する量

である。したがって、各分潮は

$$\eta = G_1 G_2 C \cos(V + u) \quad (25)$$

で表わされる。各々の分潮は $V + u = 0$ のときに高潮に、 $V + u = 180^\circ$ のときに低潮となる。すなわち、平衡潮汐論によれば、仮想天体が観測地点の子午線上を経過（南中）する瞬間に、その地点でその分潮の満潮が起こるはずである。しかしながら、実際には海底摩擦および地形などの影響により、満潮は天体の南中時よりも遅れて起こり、またその振幅も変化するのが普通である。これらの振幅の変化および位相の遅れは、各々の分潮に対して、それぞれの観測地点に特有な値である。したがって、ある地点での実際の潮汐の調和定数値は、実測より得られた分潮の振幅と位相に、適当な補正および変換をほどこすことによって得られる。

一般に、実際の分潮の潮高は

$$\eta = R \cos(V + u - \kappa) \quad (26)$$

で表わされる。ここに、 R は振幅を示し、月あるいは太陽の位置により年によってわずかに変化する量である。

R の平均を H とすると、

$$\eta = fH \cos(V + u - \kappa) \quad (27)$$

となる。ここに、

H : 潮汐の調和定数（振幅）

κ : 潮汐の調和定数（遅角）

f : 平衡潮汐論による振幅とその平均値との比

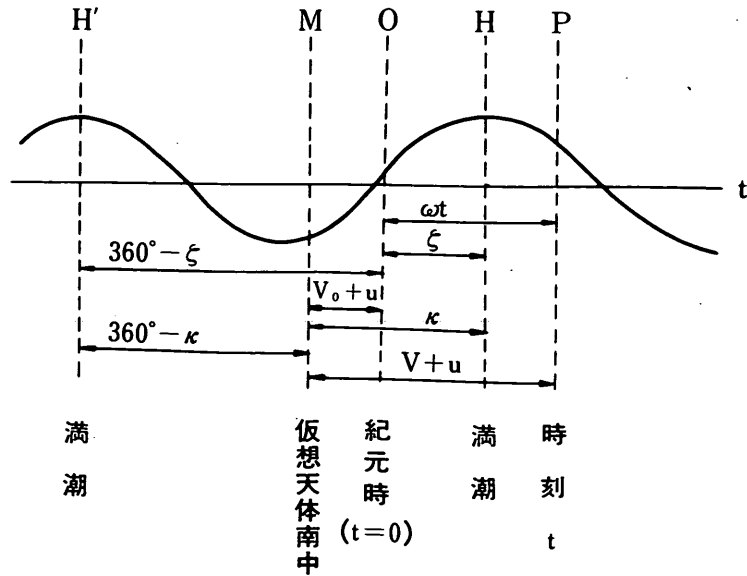


図-4 分潮の潮高と位相との関係⁴⁾

V : 分潮の引数で、時間とともに変化する項と定数項を含んだもの

u : 分潮の引数で、ある狭い範囲を周期的に変化する量

を示す。これらの関係を図-4に示す。図中の曲線が分潮の高さ(式(32))を示している。 M 点は仮想天体が観測地点に南中した時刻を、 H 点は実際に満潮が起こった時刻を示す。故に、 M 点と H 点との差が遅角となる。

潮汐の調和分解を実行するには、後で述べる方法により、ある期間の観測潮高を整理し、ある分潮(例えば M_2 分潮)のみの一周期間の潮高を求める必要がある。いま、ある分潮の潮高が

$$\eta = A \cos \omega t + B \sin \omega t \quad (33)$$

で表わされたとする。ここにおいて、

A, B : 係数(振幅)

t : 紀元時から起算した時間

ω : 分潮の速度

を示す。この様な係数を各々の分潮について求めるのが潮汐の調和分解である。各分潮の係数 A, B が求められたとすると、分潮の調和定数 H, κ は次のように求めることができる。式(33)は、三角関数の公式を用いて

$$\begin{aligned} \eta &= \sqrt{A^2 + B^2} \cos(\omega t - \zeta) \\ &= R \cos(\omega t - \zeta) \end{aligned} \quad (34)$$

のように書き表わせる。ここにおいて、

R : 各分潮の振幅

ζ : $t = 0$, すなわち紀元時から、この分潮が満潮になるまでの位相の遅れ

を示す。式(32)と式(34)は同一のものであるから、

$$R = fH \quad (35)$$

$$V + u - \kappa = \omega t - \zeta \quad (36)$$

となる。紀元時($t = 0$)、すなわち観測期間の始めの時刻における V の値を V_0 とし、短かい期間では u の値の変化が小さいことから定数とすると、式(36)は

$$V_0 + u - \kappa = -\zeta \quad (37)$$

となり、遅角は

$$\kappa = V_0 + u + \zeta \quad (38)$$

で表わすことができる。よって、実際の分潮の高さは

$$\eta = fH \cos(V_0 + u + \omega t - \kappa) \quad (39)$$

と書き表わされる。したがって、観測地点での時刻 $t = t_1$ における実際の潮高は、

$$\bar{\eta} = H_0 + \sum f_i H \cos(V_0 + u_i + \omega t_1 - \kappa) \quad (40)$$

となる。ここに、 H_0 は潮位の読み取り基準面から測った平均水面の高さである。

以上示したように、遅角 κ は仮想天体が観測地点の子午線を上経過してから観測地点にその分潮の満潮が起こるまでの時間（角度）であるから、詳しく言えば観測地点の子午線に準拠した値である。よって、 κ は時刻に無関係な観測地点に固有な値である。しかし、ある場合には、仮想天体が例えば標準時の子午線（我が国で言えば明石の東経 135° ）を上経過してから観測地点において分潮の満潮が起こるまでの時間を遅角 κ_0 として採用した方が便利なることもある。世界的な意味でグリニッチ（英国の Greenwich, 経度 0° ）の子午線に準拠した遅角 κ_G を用いる方が便利なる場合もある。さらに、地方標準時子午線 0 時からグリニッチ子午線 0 時までの角度を修正した修正遅角 g を用いることもある。

また、前述の $V_0 + u$ は仮想天体が観測地点の子午線を上経過してから紀元時までの間隔を示したもので、やはり観測地点の子午線に準拠した値である。したがって、グリニッチ子午線に準拠した $(V_0 + u)_G$ 、標準時子午線に準拠した $(V_0 + u)_0$ はそれぞれ異った値をもつ。これらの関係を図-5 に示す。この図は代表的なある短周期分潮について示したもので、横軸は左から右にわたって進行する時間を角度で表わしたものである。分潮の角

速度を ω 、平均太陽時の角速度を θ （毎時 15° ）とすると、これらの速度の比 c は ω / θ で表わされる。また、 p は長周期潮群においては 0、日周潮群においては 1、半日周潮群においては 2、四分の一週潮群においては 4 と表わされるものである。図-5 から、種々の子午線に準拠した κ および $V_0 + u$ の関係が次のように表わされる。

$$(V_0 + u)_0 = (V_0 + u) - p(\lambda - \lambda_0) \quad (41)$$

$$(V_0 + u)_G = (V_0 + u) - p\lambda + c\lambda_0 \quad (42)$$

また遅角については

$$\kappa_0 = \kappa - p(\lambda - \lambda_0) \quad (43)$$

$$\kappa_G = \kappa - p\lambda \quad (44)$$

$$g = \kappa - p\lambda + c\lambda_0 \quad (45)$$

となる。ここにおいて、

λ : 観測地点の東経

λ_0 : 標準時子午線の東経（明石、 $\lambda_0 = 135^\circ$ ）

を表わす。

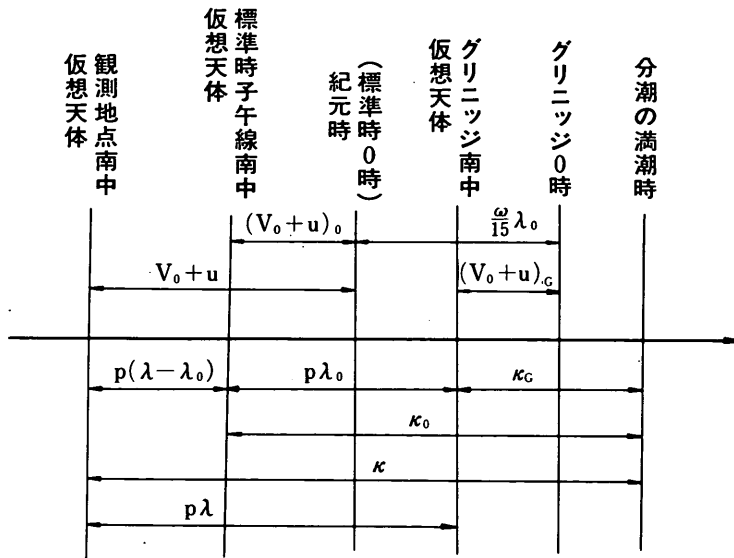


図-5 種々の子午線に準拠した $(V_0 + u)$ と κ ⁵⁾

2.4 最小自乗法による調和解法¹⁾

実際の潮汐は式 (40) に示されるように各分潮の和として表わされる。このように、各分潮の和として表わされた実際の潮汐の記録から、各々の分潮の振幅 H 、遅角 κ を求めるのが潮汐の調和解である。調和定数値を正しく見積めることは、潮汐の予報をするうえにおいても、また工学上の観点からも重要なことである。

潮汐の調和解は、昔から種々の方法が用いられてきた。主なものとしては、ダーウィンの方法、あるいはダッドソンによる $T. I.$ 法⁶⁾ があげられる。また、近年の電子計算機の発達により新しい方法が導入された。ここに述べる最小自乗法による方法はそのひとつである。

任意の時間 t における潮高 $\bar{\eta}$ が式 (40) に示すごとく、 n 個の分潮の和で表わされるとすると

$$\bar{\eta} = R_0 + R_1 \cos(\omega_1 t - \zeta_1) + R_2 \cos(\omega_2 t - \zeta_2) + \cdots + R_n \cos(\omega_n t - \zeta_n) \quad (46)$$

となる。ここにおいて、

R_0 : 平均水面

R_r : 潮汐成分 r の振幅

ω_r : 潮汐成分 r の角速度

ζ_r : 潮汐成分 r の位相角

を示す。表-1 に代表的な潮汐の分潮 28 個の記号、名称およびその角速度の値を示す。式 (46) は表-1 に示した分潮の重ね合わせによって潮高を示したものである。各々の成分を示した余弦関数を正弦関数と余弦関数の和によって表わすと、式 (46) は

$$\begin{aligned} \bar{\eta} = & a_0 \cos(\omega_0 t) + a_1 \cos(\omega_1 t) + \cdots \\ & + a_n \cos(\omega_n t) \\ & + b_0 \sin(\omega_0 t) + b_1 \sin(\omega_1 t) + \cdots \\ & + b_n \sin(\omega_n t) \end{aligned} \quad (47)$$

と書き表わされる。ただし $\omega_0 = 0^\circ$ である。最小自乗法による方法とは、左辺の実測値と右辺の計算値との差の自乗の全期間にわたる総和を最小にするように係数 a_r 、 b_r を決定する方法である。

まず、 S をその総和とすると

$$S = \sum_{i=1}^N \left\{ \bar{\eta}_i - \sum_{r=0}^n (a_r \cos \omega_r t_i + b_r \sin \omega_r t_i) \right\}^2 \quad (48)$$

表-1 代表的な潮汐の分潮

記号	名 称	1 平均太陽時の角速度(単位度)
S_a	太 陽 年 周 潮	0.041067
S_{sa}	太 陽 半 年 周 潮	0.082137
M_m	太 陰 月 周 潮	0.544375
M_{sf}	日月合成半月周潮	1.015896
M_f	太 陰 半 月 周 潮	1.098033
Q_1	主 太 陰 楕 率 潮	1.3398661
O_1	主 太 陰 日 周 潮	1.3943036
M_1	副 太 陰 楕 率 潮	1.4496694
π_1		1.4917865
P_1	主 太 陽 日 周 潮	1.4958931
K_1	日月合成日周潮	15.041069
J_1	小 太 陰 楕 率 潮	15.585443
$2N_2$	二次太陰楕率潮	27.895355
μ_2	太 陰 二 均 差 潮	27.968208
N_2	主 太 陰 楕 率 潮	28.439730
ν_2	主 太 陰 出 差 潮	28.512583
M_2	主 太 陰 半 日 周 潮	28.984104
L_2	副 太 陰 楕 率 潮	29.528479
T_2	主 太 陰 楕 率 潮	29.958933
S_2	主 太 陽 半 日 周 潮	30.000000
K_2	日月合成半月周潮	30.082137
M_3	太 陰 1/3 日 周 潮	43.476156
M_4	太 陰 1/4 日 周 潮	57.968208
MS_4	複合潮 ($M_2 + S_2$)	58.984104
M_6	太 陰 1/6 日 周 潮	86.952313
$2MS_6$	複 合 潮	87.968208
$2SM_6$	複 合 潮	88.984104
M_8	太 陰 1/8 日 周 潮	115.936417

で表わされる。ここにおいて

N : データの個数

n : 分潮数

を示す。式 (48) の S を最小にするためには、これを a_m および b_m ($m = 0 \sim n$) で偏微分し、その結果をゼロと置くと、次の連立方程式になる。

$$\begin{aligned} \frac{\partial S}{\partial a_m} = \sum_{i=1}^N \left[\left\{ \bar{\eta}_i - \sum_{r=0}^n (a_r \cos \omega_r t_i + b_r \sin \omega_r t_i) \right\} \times \cos \omega_m t_i \right] &= 0 \\ (m = 0 \sim n) \end{aligned} \quad (49)$$

$$\begin{aligned} \frac{\partial S}{\partial b_m} = \sum_{i=1}^N \left[\left\{ \bar{\eta}_i - \sum_{r=0}^n (a_r \cos \omega_r t_i + b_r \sin \omega_r t_i) \right\} \times \sin \omega_m t_i \right] &= 0 \\ (m = 1 \sim n) \end{aligned} \quad (50)$$

これらの式をマトリックスの形に書き表わすと式 (51) のようになる。

$$\begin{bmatrix} CC_{00}, CC_{01}, \dots, CC_{0n}, SC_{01}, \dots, SC_{0n} \\ CC_{10}, CC_{11}, \dots, CC_{1n}, SC_{11}, \dots, SC_{1n} \\ \vdots \\ CC_{n0}, CC_{n1}, \dots, CC_{nn}, SC_{n1}, \dots, SC_{nn} \\ CS_{10}, CS_{11}, \dots, CS_{1n}, SS_{11}, \dots, SS_{1n} \\ \vdots \\ CS_{n0}, CS_{n1}, \dots, CS_{nn}, SS_{n1}, \dots, SS_{nn} \end{bmatrix} \begin{bmatrix} a_0 \\ a_1 \\ \vdots \\ a_n \\ b_1 \\ \vdots \\ b_n \end{bmatrix} = \begin{bmatrix} \bar{\eta}C_0 \\ \bar{\eta}C_1 \\ \vdots \\ \bar{\eta}C_n \\ \bar{\eta}S_1 \\ \vdots \\ \bar{\eta}S_n \end{bmatrix} \quad (51)$$

ここにおいて、

$$\bar{\eta}C_m = \sum_{i=1}^N (\bar{\eta}_i \cos \omega_m t_i) \quad (m=0 \sim n) \quad (52)$$

$$\bar{\eta}S_m = \sum_{i=1}^N (\bar{\eta}_i \sin \omega_m t_i) \quad (m=1 \sim n) \quad (53)$$

$$CC_{m,l} = \sum_{i=1}^N (\cos \omega_l t_i \cdot \cos \omega_m t_i) \quad (l, m=0 \sim n) \quad (54)$$

$$SS_{m,l} = \sum_{i=1}^N (\sin \omega_l t_i \cdot \sin \omega_m t_i) \quad (l, m=1 \sim n) \quad (55)$$

$$SC_{m,l} = \sum_{i=1}^N (\sin \omega_l t_i \cdot \cos \omega_m t_i) \quad \begin{matrix} (m=0 \sim n) \\ (l=1 \sim n) \end{matrix} \quad (56)$$

$$CS_{m,l} = \sum_{i=1}^N (\cos \omega_l t_i \cdot \sin \omega_m t_i) \quad \begin{matrix} (l=0 \sim n) \\ (m=1 \sim n) \end{matrix} \quad (57)$$

である。

式(51)は未知数の数が $2n+1$ 個、方程式の数が $2n+1$ 個の連立方程式である。故に $(2n+1)$ 元の連立方程式を解くことにより、 $a_0 \sim a_n$ 、 $b_1 \sim b_n$ を求めることができる。したがって、潮汐の分潮 m の振幅および位相角は、 a_m 、 b_m の結果を用いて

$$\text{振幅}(R_m) = \sqrt{a_m^2 + b_m^2} \quad (58)$$

$$\text{位相角}(\zeta_m) = \tan^{-1} \left(\frac{b_m}{a_m} \right) \quad (59)$$

で表わすことができる。

次に、式(58)、式(59)で求めた振幅と位相角から、各々の分潮の調和定数値を求める手順を示す。これは、式(35)中の f の値、および式(38)中の V_0+u の値が各々の分潮について求められれば、各分潮の調和定数値を求めることが可能である。

表-2に、代表的な潮汐の V 、 f 、 u の値の公式を示す。この表において、

T ：観測地点の子午線から西の方向に測った平均太陽の時角（地方平時）

V_0 ： $T=0$ の時の V の値

s ：太陰の平均黄経

p ：太陰の近地点の平均黄経

h ：太陽の平均黄経

p_1 ：太陽の近地点の平均黄経

N ：太陰の昇交点の黄経

を示す。これらの値は数表⁴⁾あるいは次に示す平均公式によって求めることができる。

$$s = 277.02^\circ + 129.3848^\circ (Y-1900) + 13.1764^\circ (D+i) \quad (60)$$

$$h = 280.19^\circ - 0.2387^\circ (Y-1900) + 0.9856^\circ (D+i) \quad (61)$$

$$p = 334.39^\circ + 40.6625^\circ (Y-1900) + 0.1114^\circ (D+i) \quad (62)$$

$$N = 259.16^\circ - 19.3282^\circ (Y-1900) - 0.0530^\circ (D+i) \quad (63)$$

$$p_1 = 282.00^\circ \quad (64)$$

ここにおいて

Y ：西暦（年）

D ：その年の1月1日より数えた日数（日）

i ：1900年からその年の1月1日までのうるう年の回数（日）

を示す。したがって、潮位観測を実施した期日に即した Y 、 D 、 i を式(60)～式(63)に代入し、それらの値を表-2の公式に代入することにより、各分潮の観測期間中の f 、 V_0+u の値を求めることができる。ただし、ここに示した公式および参考文献4の巻末の表の V_0+u の値はグリニッチ標準時子午線に準拠した値であるので、式(42)の補正公式により、各観測点の子午線に準拠した V_0+u の値を求める必要がある。

以上のことより、各分潮の調和定数値は次式により求めることができる。

$$H = \frac{R}{f} \quad (65)$$

$$\kappa = V_0 + u + \zeta \quad (66)$$

表-2 分潮の f , v , u (グリニッチに準拠)

分 潮	V	f	u
1 S_a	h	1	0
2 S_{sa}	$2h$	1	0
3 M_m	$s-p$	$1.000-0.130 \cos N$	0
4 M_{sf}	$2s-2p$	$1/(M_2 \text{ 分潮の } f)$	$2.1^\circ \sin N$
5 M_f	$2s$	$1.043+0.414 \cos N$	$-23.7^\circ \sin N + 2.7^\circ \sin 2N - 0.4^\circ \sin 3N$
6 Q_1	$T+h-3s+p-90^\circ$	$1.009+0.187 \cos N - 0.015 \cos 2N$	$10.8^\circ \sin N - 1.3^\circ \sin 2N + 0.2^\circ \sin 3N$
7 O_1	$T+h-2s-90^\circ$	$Q_1 \text{ 分潮の } f$	$Q_1 \text{ 分潮の } u$
8 M_1	$T+h-s+p+90^\circ$	注 参 照	注 参 照
9 π_1	$T+2h+p_1-90^\circ$	1	0
10 P_1	$T-h-90^\circ$	1	0
11 K_1	$T+h+90^\circ$	$1.006+0.115 \cos N - 0.009 \cos 2N$	$-8.9^\circ \sin N + 0.7^\circ \sin 2N$
12 J_1	$T+s-p+90^\circ$	$1.013+0.168 \cos N - 0.017 \cos 2N$	$-12.9^\circ \sin N + 1.3^\circ \sin 2N - 0.2^\circ \sin 3N$
13 $2N_2$	$2T+2h-4s+2p$	$M_2 \text{ 分潮の } f$	$M_2 \text{ 分潮の } u$
14 μ_2	$2T+4h-4s$	$M_2 \text{ 分潮の } f$	$M_2 \text{ 分潮の } u$
15 N_2	$2T+2h-3s+p$	$M_2 \text{ 分潮の } f$	$M_2 \text{ 分潮の } u$
16 ν_2	$2T+4h-3s-p$	$M_2 \text{ 分潮の } f$	$M_2 \text{ 分潮の } u$
17 M_2	$2T+2h-2s$	$1.000-0.037 \cos N$	$-2.1^\circ \sin N$
18 L_2	$2T+2h-s-p+180^\circ$	注 参 照	注 参 照
19 T_2	$2T-h+p_1$	1	0
20 S_2	$2T$	1	0
21 K_2	$2T+2h$	$1.024+0.286 \cos N + 0.008 \cos 2N$	$-17.7^\circ \sin N + 0.7^\circ \sin 2N$
22 M_3	$3T+3h-3s$	$(M_2 \text{ 分潮の } f)^{3/2}$	$3/2 (M_2 \text{ 分潮の } u)$
23 M_4	$4T+4h-4s$	$(M_2 \text{ 分潮の } f)^2$	$2 (M_2 \text{ 分潮の } u)$
24 MS_4	$4T+2h-2s$	$M_2 \text{ 分潮の } f$	$M_2 \text{ 分潮の } u$
25 M_6	$6T+6h-6s$	$(M_2 \text{ 分潮の } f)^3$	$3 (M_2 \text{ 分潮の } u)$
26 $2MS_6$	$6T+4h-4s$	$(M_2 \text{ 分潮の } f)^2$	$2 (M_2 \text{ 分潮の } u)$
27 $2SM_6$	$6T+2h-2s$	$M_2 \text{ 分潮の } f$	$M_2 \text{ 分潮の } u$
28 M_8	$8T+8h-8s$	$(M_2 \text{ 分潮の } f)^4$	$4 (M_2 \text{ 分潮の } u)$

注) M_1 : $f \cos u = 2 \cos p + 0.4 \cos (p-N)$, $f \sin u = \sin p + 0.2 \sin (p-N)$

L_2 : $f \cos u = 1 - 0.25 \cos 2p - 0.11 \cos (2p-N) - 0.02 \cos (2p-2N) - 0.04 \cos N$

$f \sin u = -0.25 \sin 2p - 0.11 \sin (2p-N) - 0.02 \sin (2p-2N) - 0.04 \sin N$

3. 調和解結果とその精度

3.1 潮汐(潮流)の観測期間⁴⁾

調和解を精度よく行なうためには、潮汐あるいは潮流の観測期間は、できるだけ長いことが望ましい。しかしながら、潮流観測のように、流速計を海中に固定しなければならない場合、あるいは早急に調和定数値を知りたい場合については、比較的短期間の観測データに頼らざるえない時がある。表-1に主要な潮汐の分潮28について示したが、これら従ての分潮を観測データより精度よく分離するためには、かなり長い年月の観測期間が

必要であると考えられる。

ある分潮間(たとえば K_1 潮と P_1 潮)の角速度の差が極端に小さい場合には、短かい期間での観測データからは分離することができない。いま、ある二つの分潮の角速度をそれぞれ ω_1 , ω_2 としたとき、二つの分潮を組み合わせた $360^\circ/(\omega_1 - \omega_2)$ を周期とした唸りの現象が生じる。これを、二つの分潮の相合周期(Synodic period)という。これらの二つの分潮を精度よく分離するためには、観測期間内にこの相合周期の波が数多く含まれることが望ましい。

一般に潮汐の観測期間は1か年、あるいは数か年であるのが標準となっている。潮位記録を長期間にわたって連続的にとることは、さして難かしい問題でないで、長期間のデータを用いることが望ましい。しかしながら、潮流観測については15日間、あるいは1か月間観測が標準となっている。時には、1昼夜(25時間)の観測ですましているのが現状である。

ここでは、観測期間の長さによる分離可能な分潮についての簡単な説明を行う。

- (1) 15日間(あるいは14日間)の観測値を用いる場合
15日、あるいは14日という長さは、それぞれ M_2 , S_2 分潮の相合周期(4.765日), および K_1 , O_1 分潮の相合周期(13.66日)に対応している。したがって、15日間の観測結果を用いて調和分解を行えば、潮汐の主要四分潮 K_1 , O_1 , M_2 , S_2 の分離は比較的精度良く可能である。一般に、15日間観測のデータにより分離可能な分潮は、 M_2 , S_2 , K_2 , N_2 , K_1 , O_1 , P_1 , Q_1 , M_4 , MS_4 の10分潮である。しかしながら、表-1からもわかるように、 S_2 と K_2 潮および K_1 と P_1 潮のスピードが、それぞれ非常に近いために、単純な方法では分離できない。よって、3.2で述べるように、まず最小自乗法により得られた S_2 分潮および K_1 分潮は、それぞれ S_2 と K_2 分潮、あるいは K_1 と P_1 分潮の両者を合算したものであると考え、しかる後に、静力学的な仮定を用いて S_2 と K_2 分潮、および K_1 と P_1 分潮の分離を行う。
- (2) 1か月(あるいは29日)間の観測値を用いる場合
29日という長さは M_2 と S_2 潮、 K_1 と O_1 潮、さらには P_1 と Q_1 潮など、ほとんど総ての主要分潮の相合周期の倍数にあたっている。したがって、約1か月間のデータを用いて調和分解を実行すれば、主要分潮の分離は可能である。一般に、1か月間観測で分離できる分潮は、 M_2 , S_2 , K_2 , N_2 , K_1 , O_1 , P_1 , Q_1 , M_4 , MS_4 , L_2 , ν_2 , μ_2 の13分潮である。ただし、 K_1 と P_1 潮、 S_2 と K_2 潮、さらに N_2 と ν_2 潮は前と同様に静力学的な仮定を用いて分離する必要がある。
- (3) 1か年(あるいは369日)の観測値を用いる場合
369日という長さは、ほとんど総ての短周期分潮の相合周期の倍数にあたっているために、この期間分のデータを用いれば、短周期分潮のほとんど全部が完全に分離できる。また、気圧変動等の不規則な気象の影響も大部分取り除くことができる。したがって、観測データが十分にたくさんあるならば、369日分のデータを用いて調和分解を行うのが望ましい。また、観測データが369日未満の場合には、むしろ一部分のデータ

を捨てて355日分、あるいは326日分のデータを用いた方が精度がよいとされている。

3.2 K_1 と P_1 潮、 S_2 と K_2 潮および N_2 と ν_2 潮の分離
前に述べたように K_1 と P_1 潮、 S_2 と K_2 潮、 N_2 と ν_2 潮の角速度は非常に近い(表-1参照)。これらの相合周期 T_s を求めると

$$T_s(K_1, P_1) = \frac{360^\circ}{(15.041069 - 14.958931)(^\circ/\text{時})} = 182.62 \text{ (日)} \quad (67)$$

$$T_s(S_2, K_2) = \frac{360^\circ}{(30.0 - 29.958933)(^\circ/\text{時})} = 365.26 \text{ (日)} \quad (68)$$

$$T_s(N_2, \nu_2) = \frac{360^\circ}{(28.512583 - 28.439730)(^\circ/\text{時})} = 205.89 \text{ (日)} \quad (69)$$

となる。したがって、これらの分潮は短期間の観測においては単純には分離できない。これらの分潮を精度よく分離する方法はLien⁷⁾、小田巻⁸⁾らによって提唱されているが、ここでは彦坂ら²⁾の方法を用いた。彦坂らの方法によると、これらの分潮は短期間においては同一成分の分潮が合成したものとみなすことができる。ここで、これらの各分潮間には、平衡潮汐論による各分潮間の振幅比を用いて次の関係式が成立するものと仮定する。

$$R_{P_1} = 0.333 R_{K_1} \text{ および } \kappa_{P_1} = \kappa_{K_1} \quad (70)$$

$$R_{K_2} = 0.272 R_{S_2} \text{ および } \kappa_{K_2} = \kappa_{S_2} \quad (71)$$

$$R_{\nu_2} = 0.194 R_{N_2} \text{ および } \kappa_{\nu_2} = \kappa_{N_2} \quad (72)$$

ここにおいて、 R は振幅、 κ は遅角を意味する。まず、 S_2 潮と K_2 潮の分離について考える。最小自乗法によって得られた S_2 分潮の結果は、実際は S_2 分潮と K_2 分潮の合成されたものであると考えられるので、次のように表わすことができる。

$$\text{最小自乗法による } S_2 \text{ 分潮} = A \cos(\omega_s t) + B \sin(\omega_s t)$$

$$= f_{S_2} R_{S_2} \cos(V_{os} + \omega_s t - \kappa_s) + f_{K_2} R_{K_2} \cos(V_{ok} + \omega_k t - \kappa_k) \quad (73)$$

式(73)に式(71)の関係式を代入すると

$$\begin{aligned} &= R_s \cos(V_{os} + \omega_s t - \kappa_s) + \alpha R_k \cos(V_{ok} + \omega_k t - \kappa_k) \\ &= R_s \cos(\kappa_s - V_{os}) \cos \omega_s t + R_s \sin(\kappa_s - V_{os}) \sin \omega_s t \\ &\quad + \alpha R_k \cos(\kappa_k - V_{ok}) \cos \omega_k t \\ &\quad + \alpha R_k \sin(\kappa_k - V_{ok}) \sin \omega_k t \end{aligned} \quad (74)$$

となる。ここで、 α は S_2 と K_2 潮の平衡潮汐論による振幅比を示し、0.272である。式(74)において、

$$\delta = \omega_s - \omega_k = -0.08214^\circ/\text{hour} \quad (75)$$

とおくと、

$$\begin{aligned} \cos \omega_k t &= \cos(\omega_s - \delta)t = \cos \delta t \cos \omega_s t \\ &+ \sin \delta t \sin \omega_s t \end{aligned} \quad (76)$$

$$\begin{aligned} \sin \omega_k t &= \sin(\omega_s - \delta)t = \cos \delta t \sin \omega_s t \\ &- \sin \delta t \cos \omega_s t \end{aligned} \quad (77)$$

と書き表わすことができる。したがって、式(73)の A 、 B は、それぞれ次のようになる。

$$\begin{aligned} A &= R_s \cos(\kappa_s - V_{os}) + \alpha R_s \cos(\kappa_s - V_{ok}) \cos \delta t \\ &- \alpha R_s \sin(\kappa_s - V_{ok}) \sin \delta t \end{aligned} \quad (78)$$

$$\begin{aligned} B &= R_s \sin(\kappa_s - V_{os}) + \alpha R_s \cos(\kappa_s - V_{ok}) \sin \delta t \\ &+ \alpha R_s \sin(\kappa_s - V_{ok}) \cos \delta t \end{aligned} \quad (79)$$

観測期間中の A 、 B の平均値をそれぞれ \bar{A} 、 \bar{B} とすると、

$$\begin{aligned} \bar{A} &= R_s \cos(\kappa_s - V_{os}) + \alpha R_s \cos(\kappa_s - V_{ok}) \overline{\cos \delta t} \\ &- \alpha R_s \sin(\kappa_s - V_{ok}) \overline{\sin \delta t} \end{aligned} \quad (80)$$

$$\begin{aligned} \bar{B} &= R_s \cos(\kappa_s - V_{os}) + \alpha R_s \cos(\kappa_s - V_{ok}) \overline{\sin \delta t} \\ &+ \alpha R_s \sin(\kappa_s - V_{ok}) \overline{\cos \delta t} \end{aligned} \quad (81)$$

となる。いま、 $2N+1$ 個の観測値を用いると、式(80)、式(81)の $\overline{\sin \delta t}$ および $\overline{\cos \delta t}$ は次のように表わされる。

$$\overline{\sin \delta t} = \frac{1}{2N+1} \sum_{t=-N}^{t=N} \sin \delta t = 0 \quad (82)$$

$$\overline{\cos \delta t} = \frac{1}{2N+1} \sum_{t=-N}^{t=N} \cos \delta t = \frac{\sin(2N+1)\frac{\delta}{2}}{(2N+1)\sin\frac{\delta}{2}} \quad (83)$$

ここで、 $t=0$ は観測期間の中央時刻にとる。例として、15昼夜観測で毎時のデータを用いた場合は、 $2N+1=361$ 、 $\delta = \omega_s - \omega_k = -0.08214^\circ/\text{時}$ であるから

$$\overline{\cos \delta t} = 0.988877 \quad (84)$$

となる。これらの結果を式(80)、式(81)に代入し、さらに $\gamma = V_{ok} - V_{os}$ の表現式を用いると、

$$\begin{aligned} \bar{A} &= R_s \cos(\kappa_s - V_{os})(1 + 0.988877 \cdot \alpha \cos \gamma) \\ &+ R_s \sin(\kappa_s - V_{os}) \cdot 0.988877 \alpha \sin \gamma \end{aligned} \quad (85)$$

$$\begin{aligned} \bar{B} &= R_s \sin(\kappa_s - V_{os})(1 + 0.988877 \cdot \alpha \cos \gamma) \\ &- R_s \cos(\kappa_s - V_{os}) \cdot 0.988877 \alpha \sin \gamma \end{aligned} \quad (86)$$

となる。いま

$$1 + 0.988877 \alpha \cos \gamma = p \quad (87)$$

$$0.988877 \alpha \sin \gamma = q \quad (88)$$

とおくと、 \bar{A} 、 \bar{B} は

$$\bar{A} = p \cdot R_s \cos(\kappa_s - V_{os}) + q \cdot R_s \sin(\kappa_s - V_{os}) \quad (89)$$

$$\bar{B} = p \cdot R_s \sin(\kappa_s - V_{os}) - q \cdot R_s \cos(\kappa_s - V_{os}) \quad (90)$$

となり、

$$R_s \cos(\kappa_s - V_{os}) = \frac{p \bar{A} - q \bar{B}}{p^2 + q^2} \quad (91)$$

$$R_s \sin(\kappa_s - V_{os}) = \frac{q \bar{A} + p \bar{B}}{p^2 + q^2} \quad (92)$$

となる。これより、 R_s と κ_s の値を求めることができる。よって、実際の S_2 分潮、 K_2 分潮の調和定数値は

$$R_{s2} = \frac{R_s}{f_{s2}}, \quad \kappa_{s2} = \kappa_s \quad (93)$$

$$R_{k2} = 0.272 R_{s2}, \quad \kappa_{k2} = \kappa_{s2} \quad (94)$$

より求まる。

K_1 潮と P_1 潮の分離、 N_2 潮と ν_2 潮の分離も同様な手順によって可能である。

3.3 観測期間の長さによる調和分解の精度および最適な分離法

大阪湾泉州沖の1年間の潮位記録のデータを1か月毎に分けて調和分解した結果を表-3に示す。全体としては、どの月も類似した結果を得ているが、分潮によっては比較的大きな変動となっているものもある。特に、振幅の小さな分潮の遅角の変動が大きい。次に、主要四分潮の調和定数値の変化の様子を図-6、図-7に示す。図中の破線は、1年間のデータを用いて得られた調和定数の値を示す。これらの図より、1か月間データによる主要四分潮の調和定数の変動は、振幅において3~4 cm、遅角において6~10°前後であることを示す。これらの変動の原因としては、潮位の測定誤差、気圧変動による水面上昇(降下)、あるいは他の不規則な成分による誤差等が考えられるが、調和分解法による計算誤差もその原因のひとつであると考えられる。

表-3 調和定数の月変化(1978年1月~1979年1月)

No.	分潮	1 月		2 月		3 月		4 月		5 月		6 月		7 月	
		H	κ	H	κ	H	κ	H	κ	H	κ	H	κ	H	κ
1	Q_1	330	1767	435	1601	380	1793	286	1632	396	1658	439	1829	428	1654
2	O_1	2040	1809	1978	1777	1968	1799	1995	1800	1921	1783	1980	1794	1986	1785
3	K_1	2601	2026	2765	2043	2478	2027	2509	1984	2532	1981	2534	2001	2584	2002
4	μ_1	409	1599	337	1577	408	1596	439	1606	470	1601	439	1643	483	1765
5	N_2	688	2104	808	2045	696	2022	661	1963	623	2034	576	2065	649	2085
6	M_2	3029	2128	3054	2094	3166	2077	3016	2102	2779	2109	2811	2087	2850	2059
7	L_2	118	3170	084	2470	094	1971	171	1935	049	2228	060	561	106	377
8	S_2	1867	2228	1885	2276	1880	2296	1783	2280	1700	2294	1571	2293	1641	2233
9	M_4	163	181	143	156	127	170	153	628	143	624	156	562	124	508
10	MS_4	112	835	137	776	158	664	102	642	082	653	075	855	090	1192
11	P_1	861	2034	915	2050	820	2034	830	1992	838	1989	839	2009	855	2010
12	K_2	508	2221	513	2268	511	2288	485	2273	462	2286	427	2286	446	2226
13	ν_2	133	2097	157	2038	135	2015	128	1957	121	2027	112	2059	126	2078
平均水位		183.02		180.26		182.69		186.26		188.75		189.32		202.65	
8 月		9 月		10 月		11 月		12 月		1 月		平 均		標準偏差	
H	κ	H	κ	H	κ	H	κ	H	κ	H	κ	H	κ	H	κ
392	1642	330	1591	284	1825	400	1687	378	1683	367	1821	373	1706	050	85
1875	1825	1945	1796	1822	1751	1872	1792	1821	1786	1790	1811	1923	1793	076	17
2655	2038	2627	2074	2581	2009	2577	1993	2682	2020	2741	2042	2605	2018	084	26
403	1848	447	1760	346	1538	378	1557	422	1498	542	1617	425	1631	054	96
649	2138	695	2097	656	2137	739	2012	523	1999	620	2120	660	2063	068	54
2878	2100	2907	2148	3070	2117	3036	2133	3010	2120	3194	2129	2985	2108	125	24
041	3026	107	1320	030	2335	153	2402	043	2628	038	2530	084	2073	044	820
1744	2259	1664	2237	1746	2214	1816	2204	1819	2196	1865	2256	1768	2251	097	34
122	473	118	638	110	407	138	337	128	271	153	238	137	400	016	177
122	883	157	879	145	520	105	366	087	653	091	866	113	753	028	196
879	2045	869	2082	854	2016	853	2001	888	2028	907	2050	862	2026	028	26
474	2251	452	2229	475	2206	494	2196	495	2189	507	2249	481	2244	027	34
126	2132	135	2091	127	2131	143	2005	101	1992	120	2114	128	2057	013	54
202.57		204.03		198.06		189.34		182.87		173.10		189.46		9.31	

ここで、最小自乗法による調和分解の精度を考察するために、次に示す手順によって、観測期間および分離する分潮数を変化させて、数値計算による誤差を検討した。

まず、参考文献4の巻末に示された6か年の観測データより求めた横浜港の調和定数値を正しい値と考える。これを表-4に示す。この調和定数値を用いて、計算機の中で数値的に潮位変動を作成する。次に、ある限定された期間内(たとえば15日間、または1か月間)での計算機で合成されたデータを用いて、最小自乗法により調和分解を行い、入力された値と得られた計算結果との

比較を行い、その差を計算による誤差と考える。この手順を図-8に示す。図中の①で与えた調和定数値と⑦で得られた結果が等しければ、その分潮は精度よく分離できたことを意味する。

まず、15日間データを用いて、表-5に示すCase A~Case Eの5つの方法についての計算誤差を検討する。計算機によって合成された潮位の1時間毎のデータ361個(15日間)を用いて、潮汐の主要四分潮(K_1 , O_1 , M_2 , S_2)に分離した結果(Case A)を表-6に示す。表-6において、No.1~No.20は1968年から1987年の20年間にわたる8月14日から8月29日の

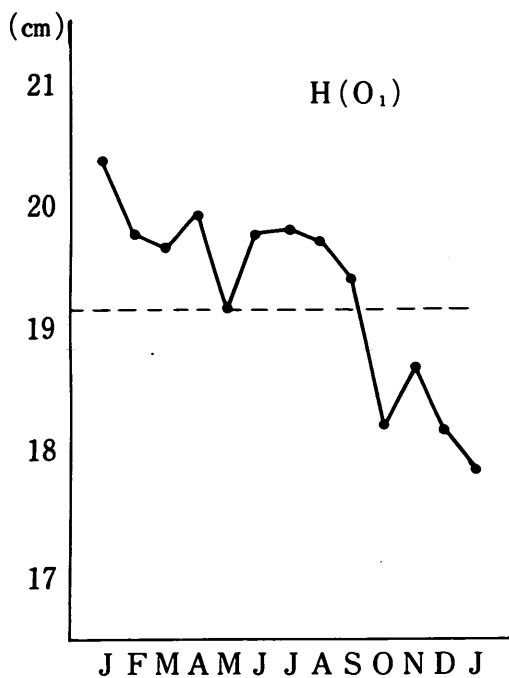


図-6(a) 調和定数の月変化 (O_1 潮 - 振幅)

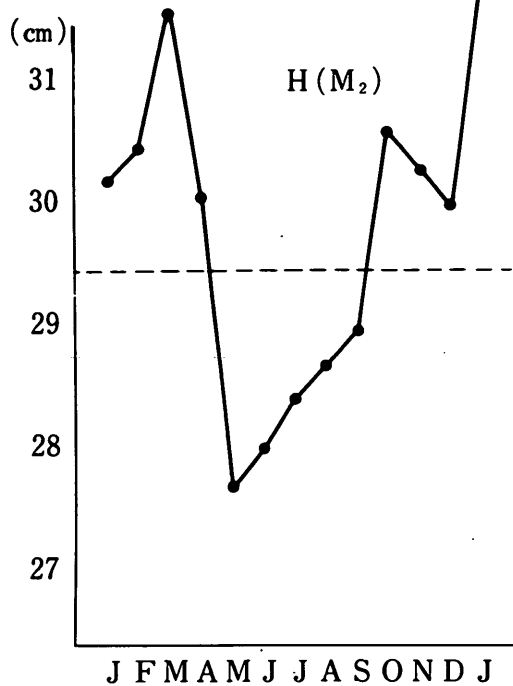


図-6(c) 調和定数の月変化 (M_2 潮 - 振幅)

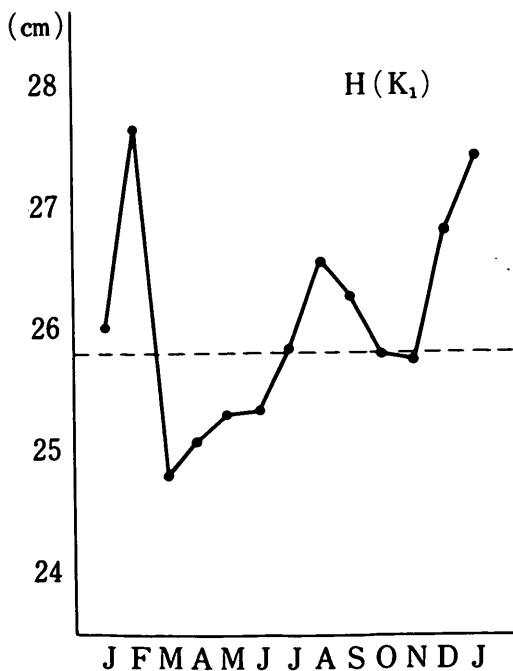


図-6(b) 調和定数の月変化 (K_1 潮 - 振幅)

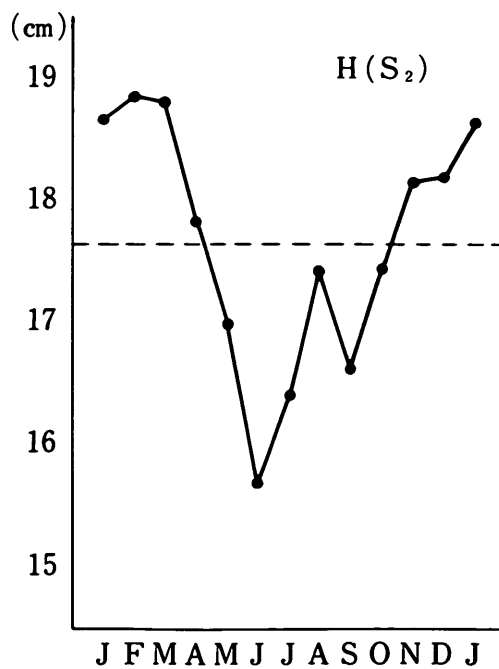


図-6(d) 調和定数の月変化 (S_2 潮 - 振幅)

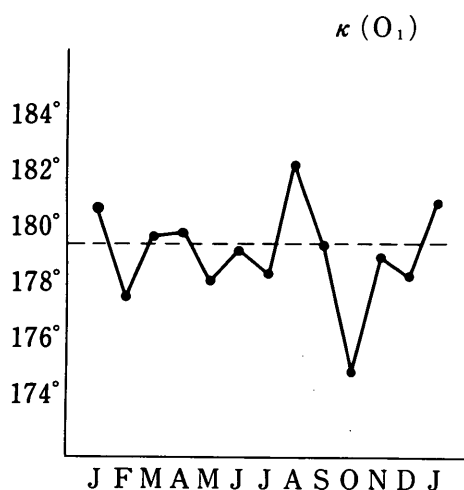


図-7 (a) 調和定数の月変化 (O_1 潮 - 遅角)

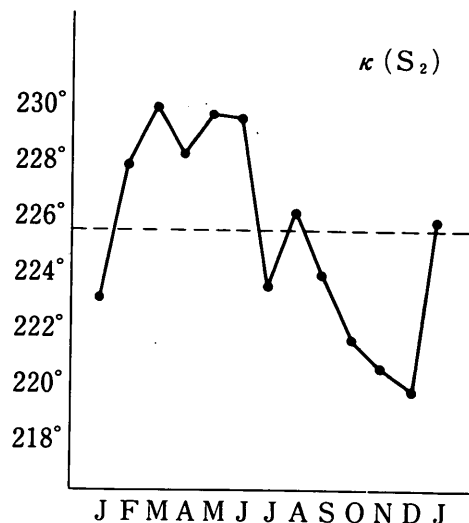


図-7 (d) 調和定数の月変化 (S_2 潮 - 遅角)

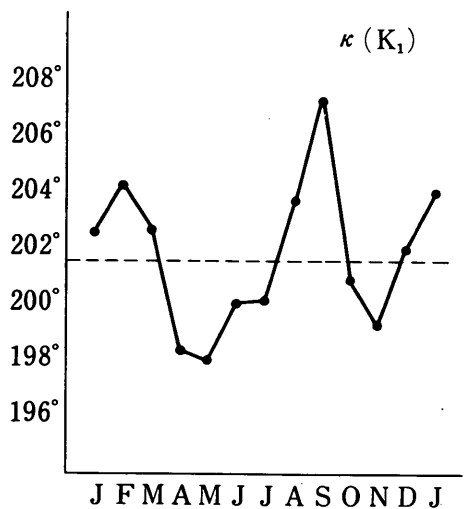


図-7 (b) 調和定数の月変化 (K_1 潮 - 遅角)

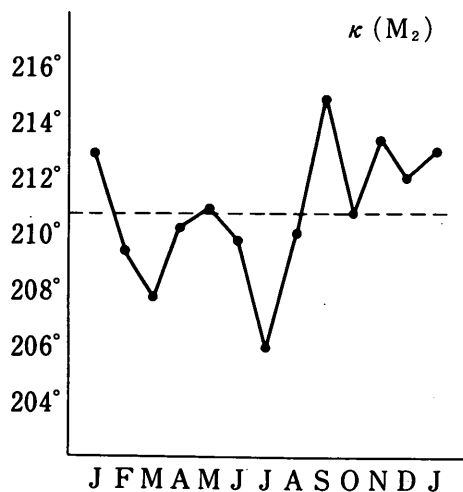


図-7 (c) 調和定数の月変化 (M_2 潮 - 遅角)

表-4 横浜港の調和定数⁴⁾

分	潮	振幅 (cm)	遅角 (度)
1	S_a	10.5	167.5
2	S_{sa}	2.3	184.8
3	M_m	1.8	285.8
4	M_{sf}	0.6	90.9
5	M_f	1.5	160.8
6	Q_1	4.0	154.2
7	O_1	19.3	160.2
8	M_1	1.0	196.5
9	π_1	0.0	0.0
10	P_1	8.2	176.7
11	K_1	24.9	179.7
12	J_1	1.3	194.7
13	$2N_2$	0.0	0.0
14	μ_2	1.5	180.8
15	N_2	6.9	149.4
16	ν_2	1.8	145.1
17	M_2	46.7	155.2
18	L_2	1.6	171.2
19	T_2	1.4	165.8
20	S_2	22.7	185.1
21	K_2	6.1	181.2
22	M_3	1.1	162.7
23	M_4	1.5	99.0
24	MS_4	3.1	133.6
25	M_6	0.2	106.1
26	$2MS_6$	0.0	0.0
27	$2SM_6$	0.0	0.0
28	M_8	0.0	0.0

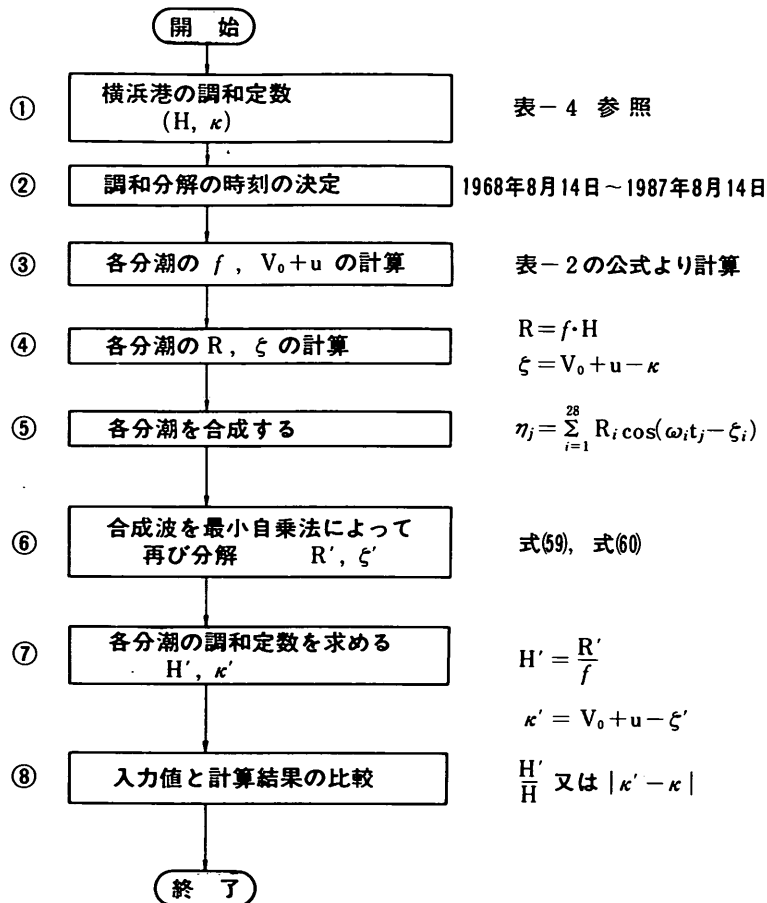


図-8 計算手順

表-5 計算ケース(表中のカッコは3.2の方法により分離したことを意味する)

計算ケース	分解した分潮名
Case A	O_1, K_1, M_2, S_2 の4分潮
Case B	$O_1, K_1(P_1), M_2, S_2(K_2)$ の6分潮
Case C	$Q_1, O_1, K_1, P_1, N_2, M_2, S_2, K_2, M_4, MS_4$ の10分潮
Case D	$Q_1, O_1, K_1, N_2, M_2, S_2, M_4, MS_4$ の8分潮
Case E	$Q_1, O_1, K_1(P_1), N_2, M_2, S_2(K_2), M_4, MS_4$ の10分潮
Case F	$Q_1, O_1, K_1(P_1), \mu_2, N_2(\nu_2), M_2, L_2, S_2(K_2), M_4, MS_4$ の13分潮

15日間の潮位を計算し、それを再び最小自乗法によって分離したものである。表-6に得られた結果と表-4の入力値との比較を、振幅比については図-9に、遅角差については図-10に示す。これらの結果から、 O_1 潮および M_2 潮についての誤差は、振幅においては10%、遅角において10°以下であるのに対し、 K_1 潮と S_2 潮について

の誤差は、振幅においては15～20%、遅角においては20°前後と、かなり大きいことがわかる。これは、 K_1 および S_2 潮はそれぞれ P_1, K_2 潮という非常に近い角速度をもった分潮が存在するために、15日間という短期間のデータでは、これらの誤差が大きくなって現われたものと考えられる。

次に、Case Aで求められた結果の K_1 分潮と S_2 分潮を、3.2で述べた方法により K_1, P_1 分潮および S_2, K_2 分潮に分離した結果(Case B)を表-7に示す。また、計算結果と入力値との比較を振幅比については図-11に、遅角差については図-12に示す。 O_1 および M_2 潮については補正をほどこしていないのでCase Aの結果と同じである。これらの結果より、前述の補正をほどこすことにより、 K_1 および S_2 潮の調和定数値が入力値に近づいていることがわかる。特に遅角については、この補正により、20°前後あった誤差が5°以内に減少しており、かなり良い結果が得られることがわかる。

表-6 最小自乗法による計算誤差 (15日間, Case A)

	No. 1		No. 2		No. 3		No. 4		No. 5	
	H	κ	H	κ	H	κ	H	κ	H	κ
O_1	17.18	161.2	18.04	157.1	20.95	154.2	20.43	167.0	17.23	160.2
K_1	23.24	198.6	22.53	198.7	24.52	197.0	24.68	197.5	21.77	199.7
M_2	45.20	160.0	43.96	150.9	50.76	149.5	47.79	160.6	44.72	158.7
S_2	25.67	202.4	26.26	202.3	27.37	200.4	26.65	200.0	26.71	196.9
	No. 6		No. 7		No. 8		No. 9		No. 10	
	H	κ	H	κ	H	κ	H	κ	H	κ
O_1	18.11	157.0	21.27	154.9	19.82	167.6	17.66	158.4	17.96	156.8
K_1	21.69	199.9	24.01	198.8	24.38	200.5	22.03	203.6	22.71	203.0
M_2	44.80	150.9	50.27	149.8	47.91	161.4	44.19	157.4	45.85	150.8
S_2	26.56	196.4	26.82	194.1	25.92	195.6	25.01	194.3	24.69	195.1
	No. 11		No. 12		No. 13		No. 14		No. 15	
	H	κ	H	κ	H	κ	H	κ	H	κ
O_1	21.79	156.1	19.21	165.9	18.40	159.4	17.90	154.8	21.90	157.8
K_1	25.63	200.7	26.65	201.1	24.37	203.1	24.69	201.5	26.89	198.2
M_2	49.67	150.5	47.99	161.9	43.63	156.2	47.09	150.4	48.97	151.6
S_2	24.61	193.0	24.40	196.0	23.36	197.0	23.33	198.6	23.05	196.7
	No. 16		No. 17		No. 18		No. 19		No. 20	
	H	κ	H	κ	H	κ	H	κ	H	κ
O_1	19.40	164.7	18.19	160.3	18.30	153.7	21.80	159.0	19.26	164.6
K_1	27.08	197.8	24.19	200.2	24.32	199.4	25.95	196.8	25.53	197.2
M_2	47.95	162.0	43.15	155.3	48.13	149.8	48.56	152.9	47.88	162.0
S_2	23.94	199.3	23.89	201.5	24.77	202.5	24.55	200.1	26.12	199.4

表-7 最小自乗法による計算誤差 (15日間, Case B)

	No. 1		No. 2		No. 3		No. 4		No. 5	
	H	κ	H	κ	H	κ	H	κ	H	κ
O_1	17.18	161.2	18.04	157.1	20.95	154.2	20.43	167.0	17.23	160.2
P_1	7.94	182.0	7.78	182.1	8.55	180.3	8.69	180.6	7.82	182.4
K_1	23.97	182.0	23.49	182.1	25.84	180.3	26.26	180.6	23.61	182.4
M_2	45.20	160.0	43.96	150.9	50.76	149.5	47.79	160.6	44.72	158.7
S_2	22.82	185.2	22.82	185.8	23.41	185.0	22.64	186.0	22.58	184.6
K_2	6.21	185.2	6.21	185.8	6.37	185.0	6.16	186.0	6.14	184.6
	No. 6		No. 7		No. 8		No. 9		No. 10	
	H	κ	H	κ	H	κ	H	κ	H	κ
O_1	18.11	157.0	21.27	154.9	19.82	167.6	17.66	158.4	17.96	156.8
P_1	7.83	182.0	8.67	180.1	8.73	181.0	7.87	183.3	7.93	182.2
K_1	23.65	182.0	26.18	180.1	26.38	181.0	23.78	183.3	23.97	182.2
M_2	44.80	150.9	50.27	149.8	47.91	161.4	44.19	157.4	45.85	150.8
S_2	22.69	185.2	23.28	183.7	22.94	185.7	22.50	184.8	22.69	185.3
K_2	6.17	185.2	6.33	183.7	6.24	185.7	6.12	184.8	6.17	185.3
	No. 11		No. 12		No. 13		No. 14		No. 15	
	H	κ	H	κ	H	κ	H	κ	H	κ
O_1	21.79	156.1	19.21	165.9	18.40	159.4	17.90	154.8	21.90	157.8
P_1	8.73	179.8	8.87	180.6	8.06	183.2	8.07	182.4	8.76	180.0
K_1	26.37	179.8	26.79	180.6	24.34	183.2	24.39	182.4	26.46	180.0
M_2	49.67	150.5	47.99	161.9	43.63	156.2	47.09	150.4	48.97	151.6
S_2	23.09	182.8	23.33	185.2	22.54	185.3	22.77	185.8	22.59	182.5
K_2	6.28	182.8	6.34	185.2	6.13	185.3	6.19	185.8	6.14	182.5
	No. 16		No. 17		No. 18		No. 19		No. 20	
	H	κ	H	κ	H	κ	H	κ	H	κ
O_1	19.40	164.7	18.19	160.3	18.30	153.7	21.80	159.0	19.26	164.6
P_1	8.84	180.3	8.02	183.1	8.13	182.6	8.76	180.2	8.71	180.6
K_1	26.70	180.3	24.23	183.1	24.56	182.6	26.47	180.2	26.32	180.6
M_2	47.95	162.0	43.15	155.3	48.13	149.8	48.56	152.9	47.88	162.0
S_2	23.36	183.8	22.76	184.9	23.08	185.2	22.28	182.5	23.11	182.2
K_2	6.35	183.8	6.19	184.9	6.28	185.2	6.06	182.5	6.29	182.2

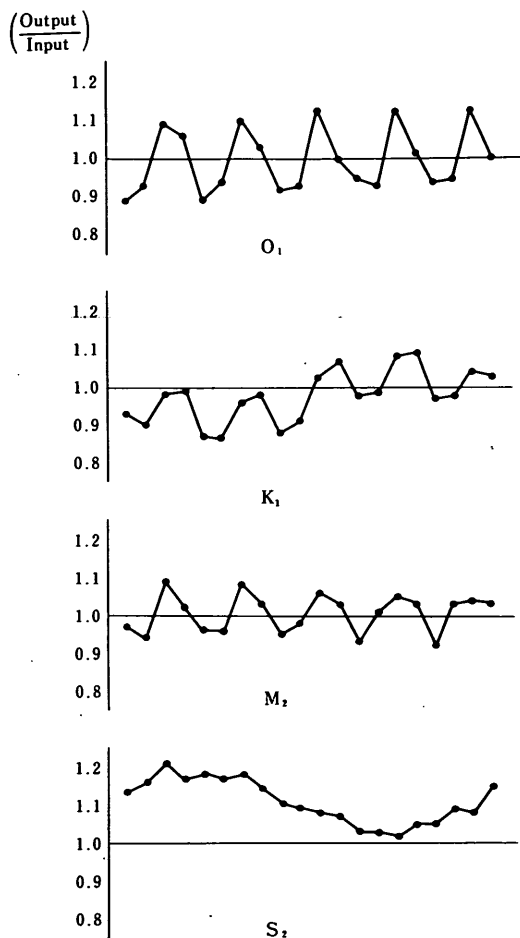


図-9 最小自乗法による振幅の計算誤差 (15日間, Case A)

15日間観測の場合、一般に3.1 (1)で示した10分潮に分離が可能であるとされている。そこでCase Cとして、これらの10分潮を直接調和分解した結果を図-13、図-14に示す。また、Case Dとして、上記の10分潮から P_1 潮と K_2 潮を除いた8分潮によって調和分解した結果を図-15、図-16に、さらにCase Dの結果から、平衡潮汐論の仮定を用いて K_1 、 S_2 潮を分離した結果をCase Eとして、表-8および図-17、図-18に示す。また図-19には、以上の5ケースについての調和分解結果と入力した値との比較を、20年間の平均値および、その誤差の標準偏差として示す。これらの結果より、Case A、Case Dの方法では、 K_1 、 S_2 分潮の遅角に特に誤差が大きいのことがわかる。また、Case Cのように、非常に近い角速度を持った分潮を、短期間のデータを用いて、最小自乗法により強引に分離しようとすると、非常

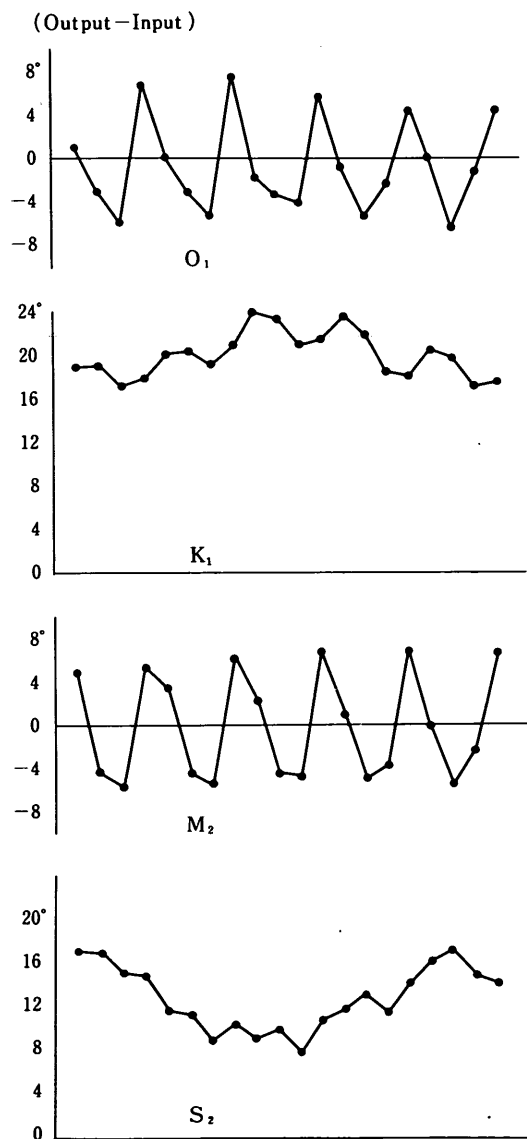


図-10 最小自乗法による遅角の計算誤差 (15日間, Case A)

に大きな誤差あるいは大きな標準偏差となって現われることがわかる。Case B、Case Eの結果をみると、これらの誤差の大きさがかなり改善されているのがわかる。このことは、3.2で述べた分離法が、妥当な方法であることを示している。また、Case Eの方法によって得られた結果は、他の方法と比較して、 K_1 潮と S_2 潮の値を補正しているのみならず、 M_2 潮、 O_1 潮の誤差、標準偏差の値を小さくしていることがわかる。このことは、たとえ主要四分潮の値のみを知りたい場合でも、Case Eの方法で10分潮の値を求め、その結果から主要四分潮

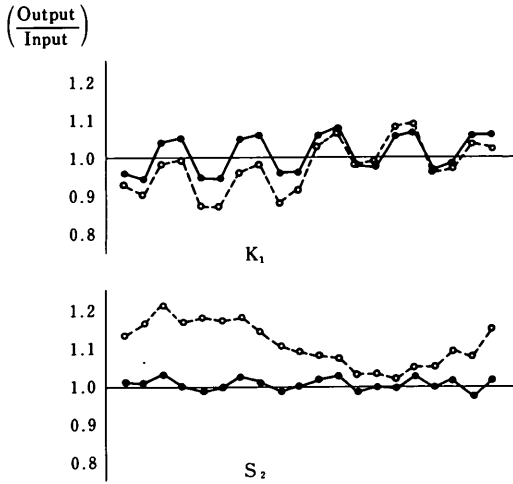


図-11 最小自乗法による振幅の計算誤差（15日間、
実線は Case B, 破線は Case A）

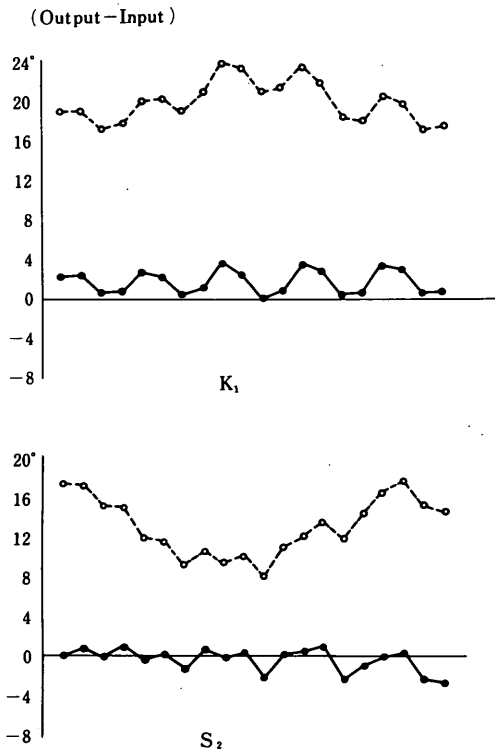


図-12 最小自乗法による遅角の計算誤差（15日間、
実線は Case B, 破線は Case A）

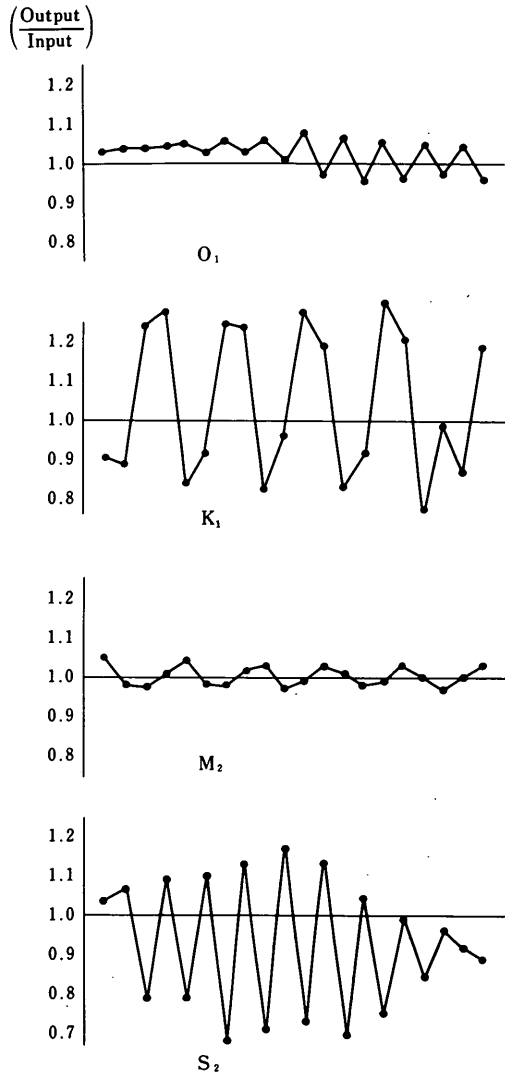


図-13 最小自乗法による振幅の計算誤差（15日間、
Case C）

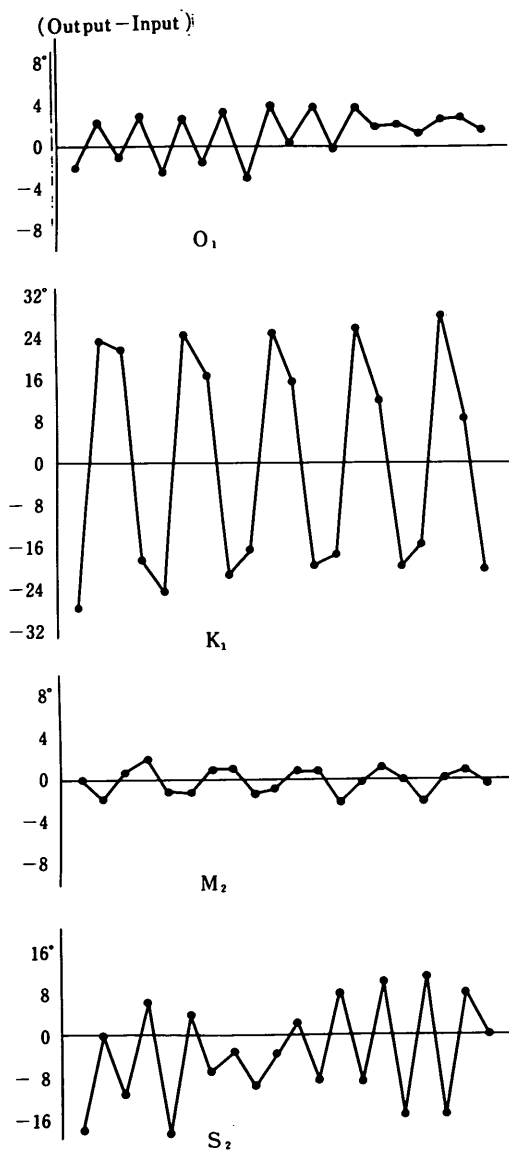


図-14 最小自乗法による遅角の計算誤差
(15日間, Case C)

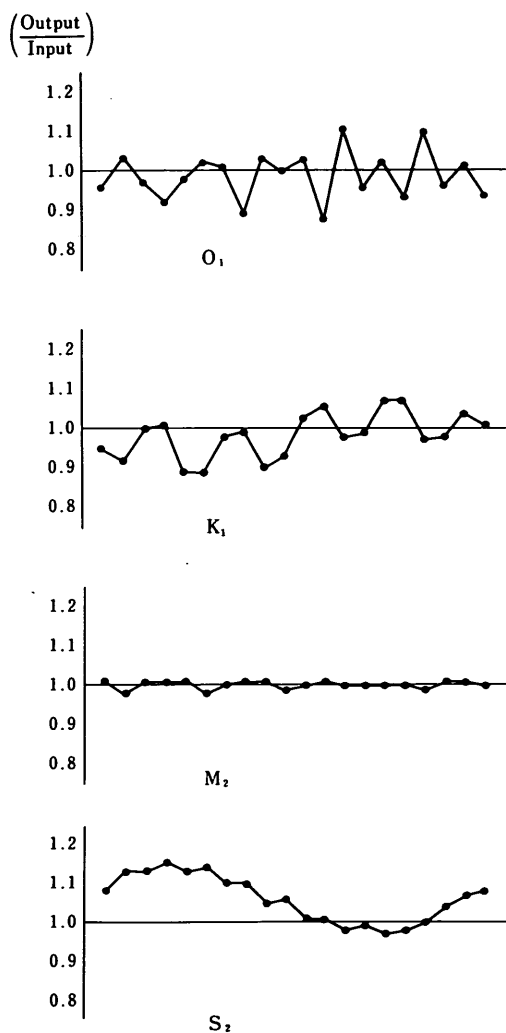


図-15 最小自乗法による振幅の計算誤差
(15日間, Case D)

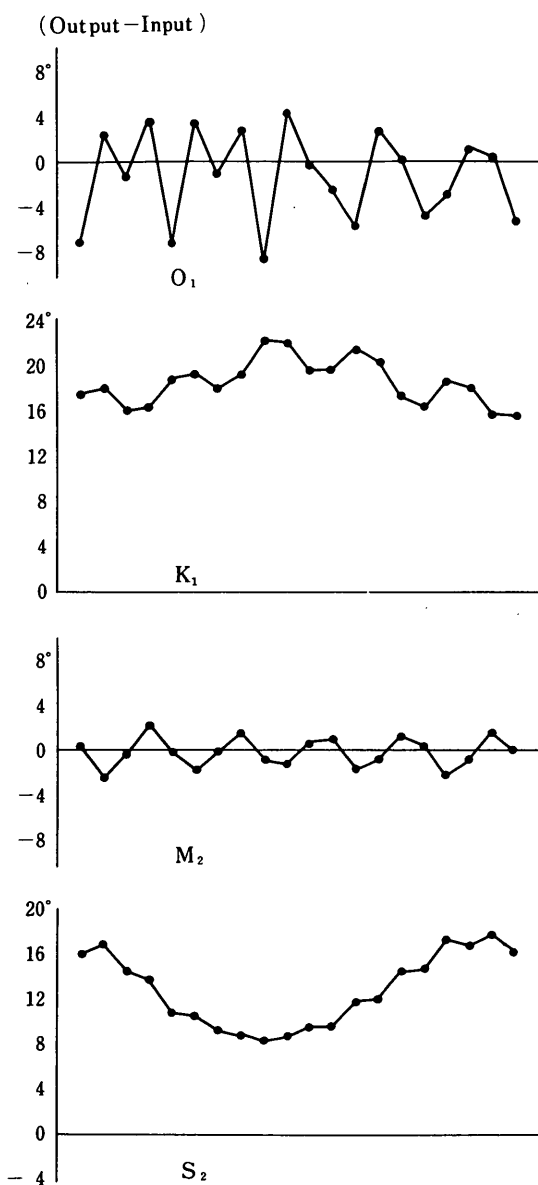


図-16 最小自乗法による遅角の計算誤差
(15日間, Case D)

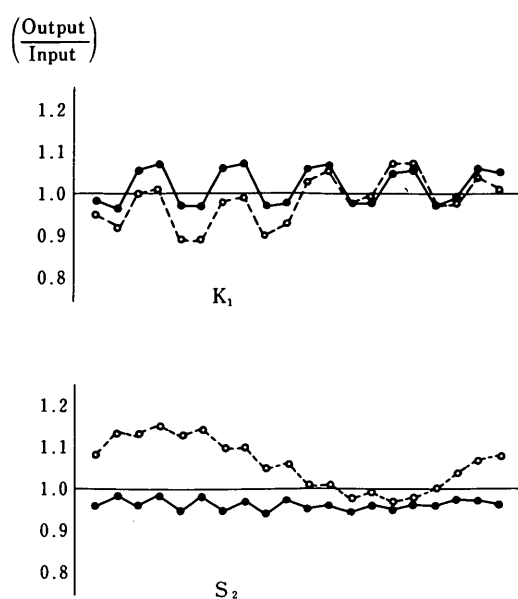


図-17 最小自乗法による振幅の計算誤差 (15日間,
実線は Case E, 破線は Case D)

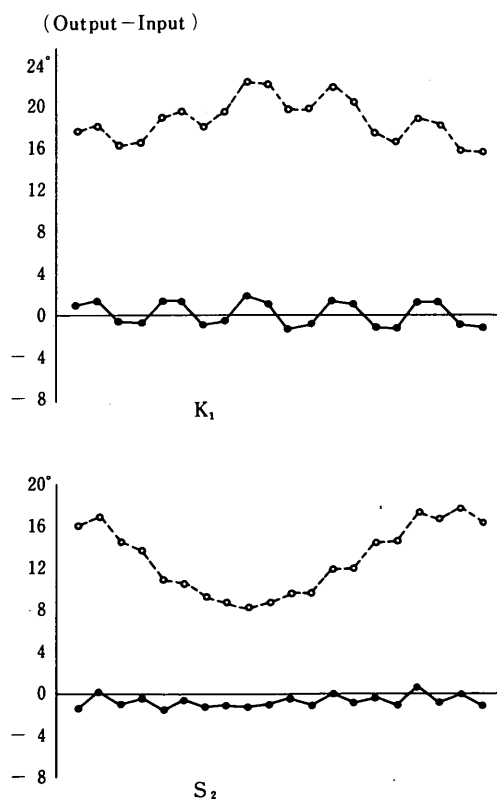


図-18 最小自乗法による遅角の計算誤差 (15日間,
実線は Case E, 破線は Case D)

表-8 最小自乗法による計算誤差 (15日間, Case E)

	No. 1		No. 2		No. 3		No. 4		No. 5	
	H	κ	H	κ	H	κ	H	κ	H	κ
Q_1	4.81	133.1	4.50	154.2	4.07	156.9	4.75	138.9	4.72	133.3
O_1	18.48	153.1	19.88	162.6	19.23	158.8	17.84	163.7	18.83	153.0
P_1	8.08	180.7	7.94	181.1	8.68	179.2	8.82	179.1	7.98	181.1
K_1	24.42	180.7	24.00	181.1	26.23	179.2	26.64	179.1	24.11	181.1
N_2	7.05	133.9	4.14	140.8	10.07	140.7	4.97	185.4	6.67	134.5
M_2	47.13	155.7	45.74	152.8	47.11	154.7	47.13	157.4	47.06	155.0
S_2	21.87	183.8	22.25	185.3	21.90	184.1	22.15	184.7	21.64	183.6
K_2	5.95	183.8	6.05	185.3	5.96	184.1	6.03	184.7	5.89	183.6
M_4	1.57	101.2	1.49	98.8	1.50	101.8	1.54	96.9	1.49	101.5
MS_4	3.17	132.6	3.11	133.7	3.03	133.8	3.11	132.4	3.16	133.6
	No. 6		No. 7		No. 8		No. 9		No. 10	
	H	κ	H	κ	H	κ	H	κ	H	κ
Q_1	4.65	156.5	4.08	154.8	5.06	137.3	5.30	133.5	4.76	158.0
O_1	19.67	163.7	19.48	159.1	17.15	163.0	19.87	151.6	19.21	164.6
P_1	8.02	181.1	8.76	178.9	8.81	179.3	7.98	181.6	8.06	180.9
K_1	24.23	181.1	26.48	178.9	26.63	179.3	24.12	181.6	24.36	180.9
N_2	3.90	155.3	10.01	130.2	6.99	180.7	6.55	135.7	4.56	170.3
M_2	45.82	153.4	46.88	155.2	47.18	156.7	46.98	154.4	46.04	153.9
S_2	22.18	184.5	21.66	184.0	22.01	184.0	21.44	184.0	22.08	184.1
K_2	6.03	184.5	5.89	184.0	5.99	184.0	5.83	184.0	6.01	184.1
M_4	1.51	100.1	1.49	99.4	1.52	98.9	1.51	100.4	1.49	98.7
MS_4	3.08	133.2	3.08	133.5	3.11	133.3	3.13	133.1	3.11	133.6
	No. 11		No. 12		No. 13		No. 14		No. 15	
	H	κ	H	κ	H	κ	H	κ	H	κ
Q_1	3.97	152.2	5.63	145.3	5.89	143.2	4.41	160.0	3.94	153.7
O_1	19.91	160.0	16.91	157.7	21.47	154.6	18.53	162.9	19.80	160.5
P_1	8.71	178.4	8.81	178.9	8.06	181.3	8.10	180.9	8.69	178.7
K_1	26.30	178.4	26.61	178.9	24.34	181.3	24.46	180.9	26.24	178.7
N_2	9.24	119.0	8.51	172.4	6.57	133.8	5.82	175.0	8.02	108.0
M_2	46.85	155.8	47.07	156.2	46.68	153.5	46.59	154.4	46.84	156.5
S_2	21.57	184.6	21.87	183.9	21.37	185.2	21.88	184.3	21.64	185.4
K_2	5.87	184.6	5.95	183.9	5.81	185.2	5.95	184.3	5.88	185.4
M_4	1.46	100.3	1.58	99.3	1.46	99.6	1.52	100.0	1.48	98.2
MS_4	3.05	133.6	3.15	132.4	3.14	133.9	3.06	133.7	3.09	133.1
	No. 16		No. 17		No. 18		No. 19		No. 20	
	H	κ	H	κ	H	κ	H	κ	H	κ
Q_1	5.48	152.5	5.45	147.5	4.19	159.4	4.13	154.4	5.54	151.6
O_1	17.97	155.5	21.24	157.5	18.54	161.4	19.52	160.7	18.21	154.9
P_1	8.72	178.6	8.01	181.1	8.14	181.0	8.73	178.8	8.62	178.7
K_1	26.36	178.6	24.19	181.1	24.60	181.0	26.38	178.8	26.03	178.7
N_2	9.64	163.2	6.49	130.6	7.28	174.0	6.14	97.9	9.97	154.8
M_2	46.80	155.6	46.31	153.0	47.01	154.5	47.12	156.8	46.60	155.3
S_2	21.68	184.1	21.73	185.8	21.93	184.4	22.05	185.2	21.77	184.1
K_2	5.90	184.1	5.91	185.8	5.97	184.4	6.00	185.2	5.92	184.1
M_4	1.53	101.1	1.52	99.7	1.51	99.0	1.47	98.8	1.54	102.2
MS_4	3.16	133.3	3.10	133.2	3.10	133.7	3.08	133.4	3.18	132.9

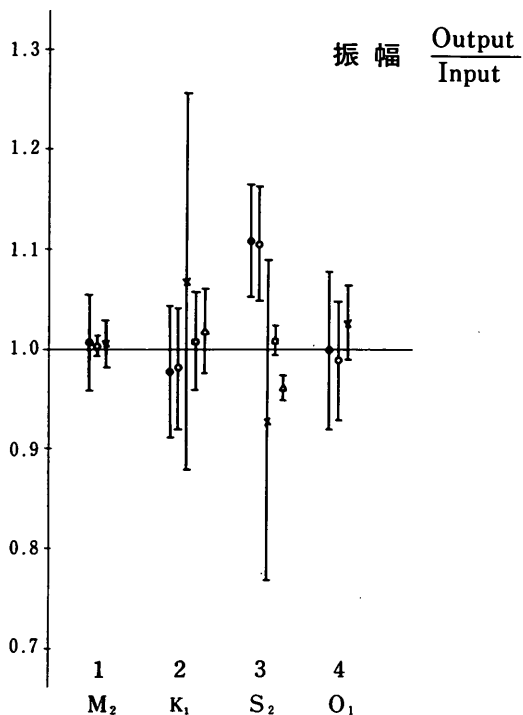


図-19(a) 15日間データ, 振幅の平均値および標準偏差
(● Case A, □ Case B, × Case C, ○ Case D, △ Case E)

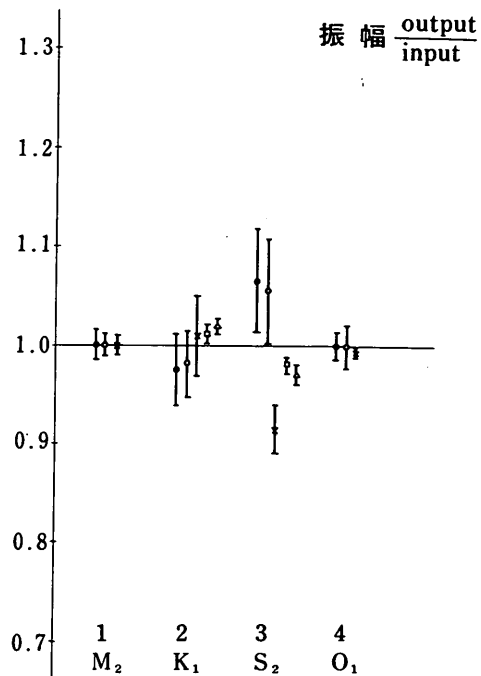


図-20(a) 1か月間データ, 振幅の平均値および標準偏差
(● Case A, □ Case B, × Case C, ○ Case D, △ Case E)

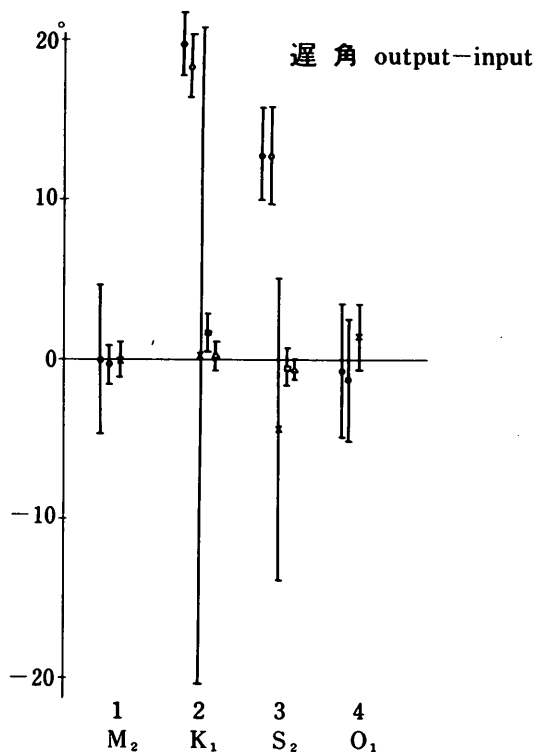


図-19(b) 15日間データ, 遅角の平均値および標準偏差
(● Case A, □ Case B, × Case C, ○ Case D, △ Case E)

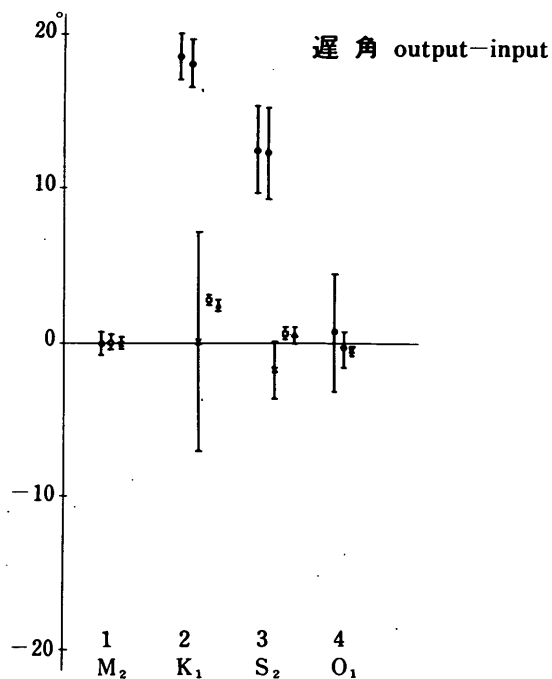


図-20(b) 1か月間データ, 遅角の平均値および標準偏差
(● Case A, □ Case B, × Case C, ○ Case D, △ Case E)

表-9 Case EとCase Fの比較(1か月間データ)

		10分潮 (Case E)				13分潮 (Case F)			
分潮		H	$\sigma(H)$	κ	$\sigma(\kappa)$	H	$\sigma(H)$	κ	$\sigma(\kappa)$
1	Q_1	3.83	0.11	156.7	1.1	3.82	0.11	156.7	1.1
2	O_1	19.27	0.36	160.2	1.1	19.27	0.36	160.2	1.2
3	P_1	8.39	0.06	182.2	0.3	8.39	0.06	182.2	0.3
4	K_1	25.34	0.17	182.2	0.3	25.34	0.17	182.2	0.3
5	μ_2	—	—	—	—	1.49	0.26	180.7	8.6
6	N_2	7.37	1.52	149.0	17.6	7.05	0.44	150.0	3.6
7	ν_2	—	—	—	—	1.37	0.08	150.0	3.6
8	M_2	46.76	0.54	155.2	0.5	46.76	0.35	155.2	0.5
9	L_2	—	—	—	—	1.77	0.55	171.9	22.9
10	S_2	22.08	0.19	185.7	0.6	22.13	0.19	185.8	0.5
11	K_2	6.01	0.05	185.7	0.6	6.02	0.05	185.8	0.5
12	M_4	1.51	0.01	99.1	0.3	1.50	0.01	99.0	0.2
13	MS_4	3.10	0.01	133.6	0.1	3.10	0.01	133.6	0.1

の値を取り出した方が精度良いことがわかる。しかしながら、表-8からわかるように、15日間データでは Q_1 潮あるいは N_2 潮のように振幅の小さな分潮については、あまり精度よい結果は得られていないことがわかる。

同様の検討を1か月間データについても行った。その結果を図-20(a),(b)に示す。15日間データの場合と比べて、振幅・遅角とも、かなり精度が改善されているのがわかる。しかし、 K_1 潮、 S_2 潮の誤差については同様の傾向を示しており、やはり平衡潮汐論の仮定に基づいて、これらの分潮を分離する必要がある。

3.1で述べたように、1か月間観測で分離できる分潮は13(Q_1 , O_1 , P_1 , (K_1) μ_2 , N_2 (ν_2), M_2 , L_2 , S_2 , (K_2), M_4 , MS_4)であるといわれている。そこで、表-5に示すCase EとCase Fの方法により、計算の精度の両者の比較を行った。その結果を、表-9、および図-21(a),(b)に20年間の平均値および標準偏差として示す。これらの結果より、 N_2 潮の調和定数値の精度がCase Eでは悪いのに対し、Case Fでは、かなり改善されていることがわかる。他の分潮に対しては、 M_2 潮でCase Fの方が若干精度が向上している他は、ほとんど同じ精度をもっている。したがって、Case EよりはCase Fの方が精度が高いことを示している。しかし、Case Fを用いることによって増加した μ_2 , ν_2 , L_2 潮の精度は30~40%の誤差を示しており、あまり良くない。特に L_2 潮の精度は、極端に悪いことを示している。

表-10 3か月間データによる調和分解(28分潮)

		Case 1		Case 2		Case 3	
分潮		H	κ	H	κ	H	κ
1	S_a	10.38	167.8	10.29	168.0	10.47	167.6
2	S_{sa}	2.29	185.7	2.29	186.4	2.30	185.0
3	M_m	1.80	285.8	1.80	285.8	1.80	285.8
4	M_{sf}	0.60	90.9	0.60	90.9	0.60	90.9
5	M_f	1.50	160.8	1.50	160.8	1.50	160.8
6	Q_1	4.00	154.2	4.00	154.2	4.00	154.2
7	O_1	19.30	160.2	19.30	160.2	19.30	160.2
8	M_1	1.00	196.5	1.00	196.5	1.00	196.5
9	π_1	0.00	—	0.00	—	0.00	—
10	P_1	8.20	176.7	8.20	176.7	8.20	176.7
11	K_1	24.90	179.7	24.90	179.7	24.90	179.7
12	J_1	1.30	194.7	1.30	194.7	1.30	194.7
13	$2N_2$	0.00	—	0.00	—	0.00	—
14	μ_2	1.50	180.8	1.50	180.8	1.50	180.8
15	N_2	6.90	149.4	6.90	149.4	6.90	149.4
16	ν_2	1.80	145.1	1.80	145.1	1.80	145.1
17	M_2	46.70	155.2	46.70	155.2	46.70	155.2
18	L_2	1.60	171.2	1.60	171.2	1.60	171.2
19	T_2	1.40	165.8	1.40	165.8	1.40	165.8
20	S_2	22.70	185.1	22.70	185.1	22.70	185.1
21	K_2	6.10	181.2	6.10	181.2	6.10	181.2
22	M_3	1.10	162.7	1.10	162.7	1.10	162.7
23	M_4	1.50	99.0	1.50	99.0	1.50	99.0
24	MS_4	3.10	133.6	3.10	133.6	3.10	133.6
25	M_6	0.20	106.1	0.20	106.1	0.20	106.1
26	$2MS_6$	0.00	—	0.00	—	0.00	—
27	$2SM_6$	0.00	—	0.00	—	0.00	—
28	M_8	0.00	—	0.00	—	0.00	—

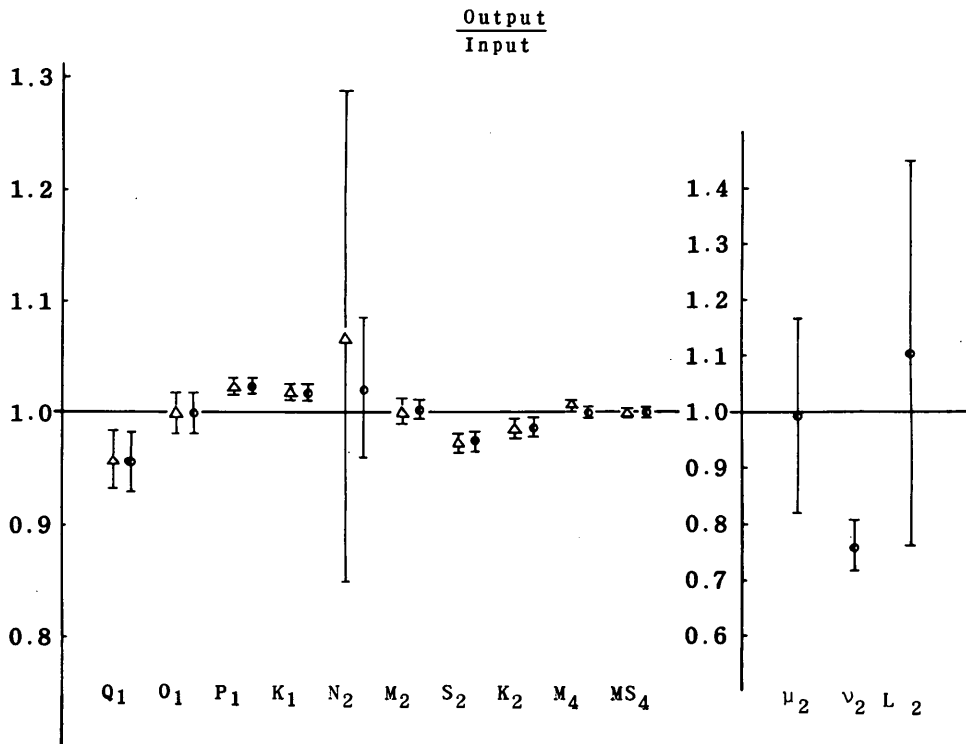


図-21(a) 1ヶ月間データ 振幅の平均値および標準偏差 (△Case E, ●Case F)

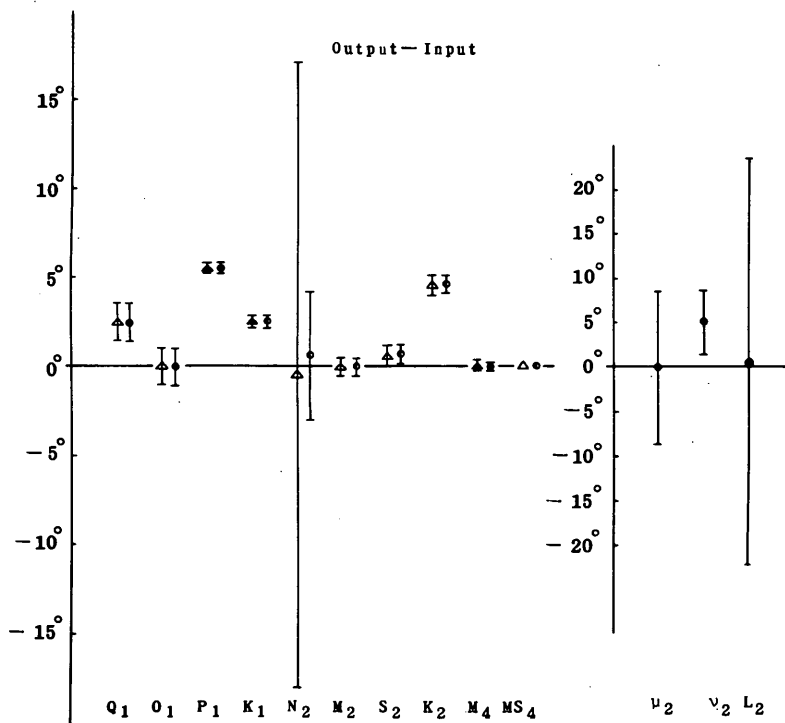


図-21(b) 1ヶ月間データ 遅角の平均値および標準偏差 (△Case E, ●Case F)

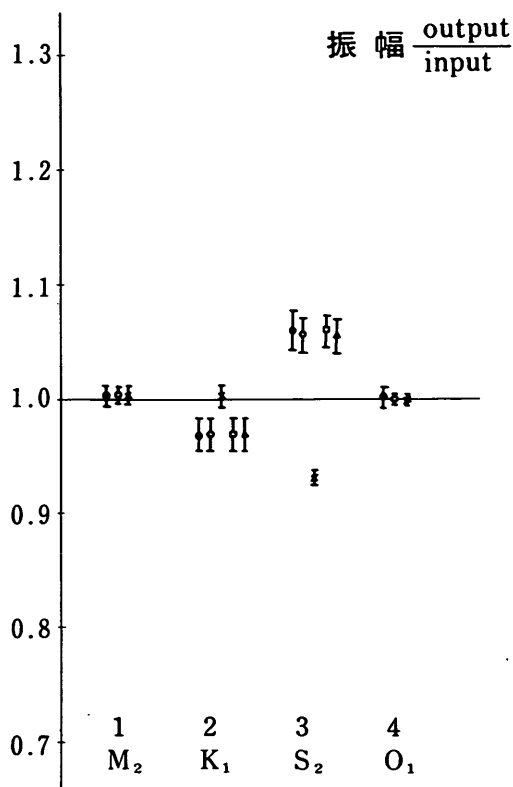


図-22(a) 3か月間データ, 振幅の平均値および標準偏差 (●Case A, □Case B, ×Case C, ○Case D, △Case E)

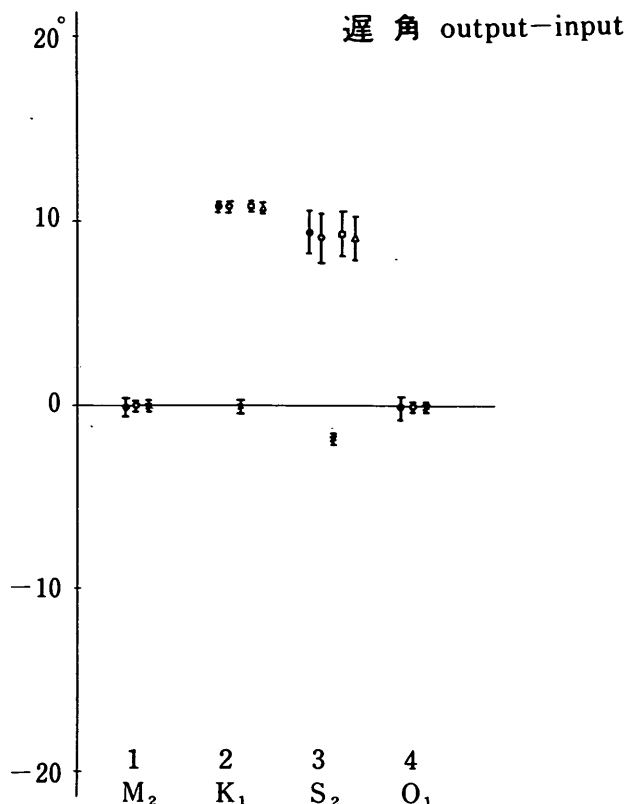


図-22(b) 3か月間データ, 遅角の平均値および標準偏差 (●Case A, □Case B, ×Case C, ○Case D, △Case E)

以上のように, 分離する分潮数を適切に増加することにより, 比較的振幅の大きな分潮に対しての精度は向上するが, 後から追加した比較的振幅の小さな分潮の精度は, あまり良くないことに注意を要する。

次に3か月間という比較的長い観測期間についての検討を行なう。図-22(a), (b)よりわかるように, Case C, すなわち10分潮を直接調和解する方がCase Eよりも良い結果を示している。したがって, 3か月間の場合にはCase Cによる方法, あるいは観測データを1か月毎に分割して, その各々についてCase EあるいはCase Fの方法で求め, それらを平均する方法が良いものと考えられる。3か月間データの場合にCase Eの方法の精度が悪くなる原因は, 式(83)の $\overline{\cos \delta t}$ の値が1に比べてかなり小さくなることからわかるように, 平衡潮汐論の仮定を用いて式(70), (71)を長期間にわたって成立するとしたことに無理があるものと考えられる。また,

表-10には3か月間のデータを28分潮に調和解した結果を示す。非常に精度が良いのがわかる。これは, 計算機の中で作られた潮汐波は, 28分潮の合成波であり誤差を全然含まないことから, 本来分離しにくい分潮も精度良く分離できたものと考えられる。

以上のことより, 3か月という比較的長いデータを用いる場合には, Case Cの方法によるか, あるいは13分潮または28分潮について調和解を実行し, その結果から主要な分潮の値のみを取り出した方が良いと思われる。

6ヶ月間データ(図-23(a), (b))の結果についても, 大体において, 3か月間データの場合と同じようなことが言える。

1か年のデータを用いた場合になると, 図-24(a), (b)に示すように, Case A, C, Dのいずれの方法を用いても, 振幅・遅角ともに精度良い結果を得ており, ど

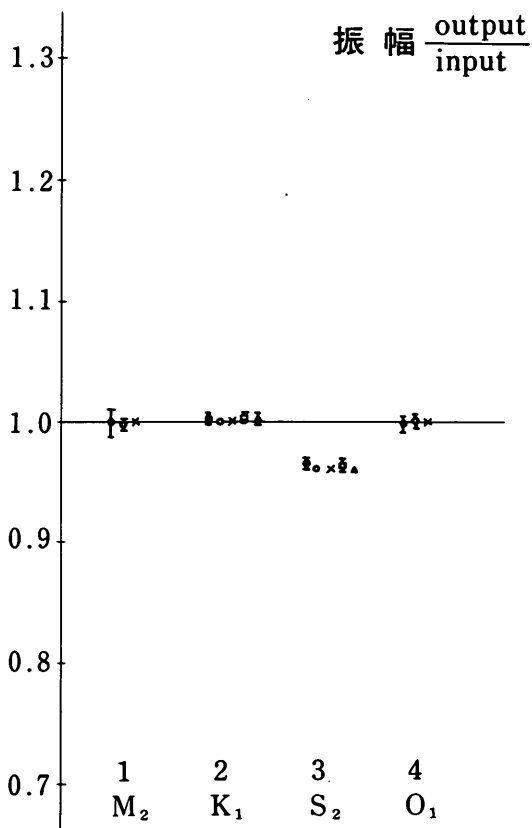


図-23(a) 6か月間データ、振幅の平均値および標準偏差
(● Case A, □ Case B, × Case C, ○ Case D, △ Case E)

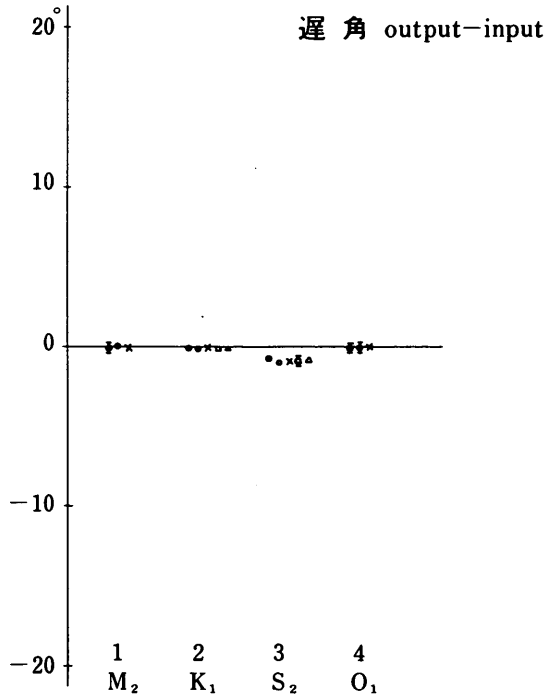


図-23(b) 6か月間データ、遅角の平均値および標準偏差
(● Case A, □ Case B, × Case C, ○ Case D, △ Case E)

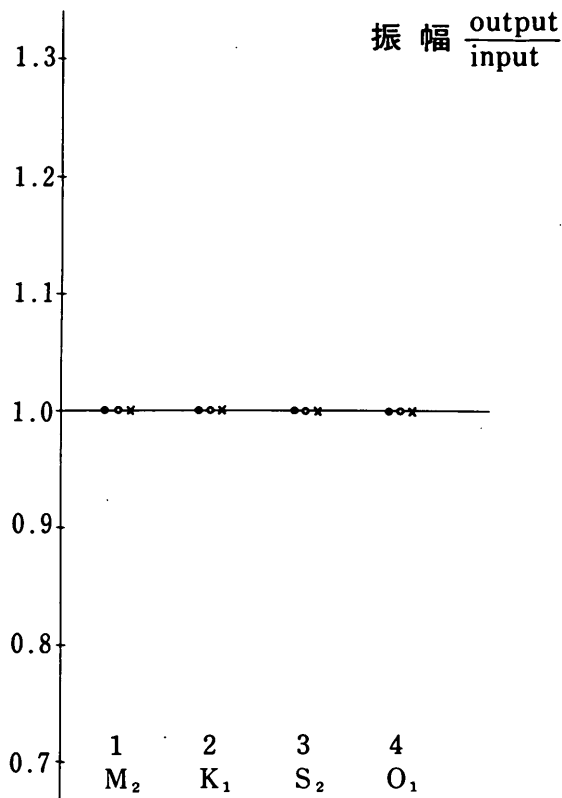


図-24(a) 1か年データ、振幅の平均値および標準偏差
(● Case A, × Case C, ○ Case D)

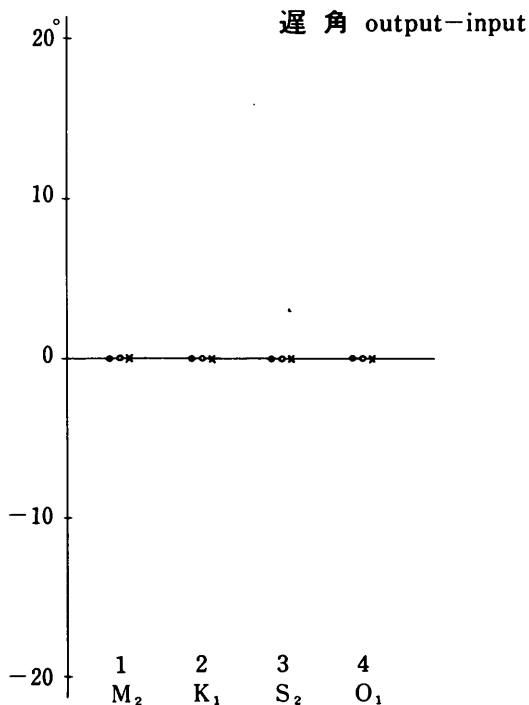


図-24(b) 1か年データ、遅角の平均値および標準偏差
(● Case A, × Case C, ○ Case D)

の方法を採っても問題はないと思われる。また、28分潮について調和解を実行しても、総ての分潮が精度よく分離が可能である。

以上に述べた検討結果より、測得されたデータの期間の長さにより、それ相応の分潮に調和解することが精度良いことを示した。簡単にまとめると、15日間観測では Case E、1 か月間観測では Case F、3 か月以上の観測では Case C、あるいはそれ以上の分潮数を直接最小自乗法により調和解するのが最も精度が良い。また、1 年間のデータがあれば、短周期の分潮は総て分離が可能である。これらの結果を表-11に示す。

表-11 観測期間の長さと精度良い分離法

観測期間	精度良い分離法
15日間データ	Case E ($Q_1, O_1, P_1(K_1), N_2, M_2, S_2(K_2), M_4, MS_4$)
1ヶ月間データ	Case F ($Q_1, O_1, P_1(K_1), \mu_2, N_2(\nu_2), M_2, L_2, S_2(K_2), M_4, MS_4$)
3ヶ月間～ 6ヶ月間データ	データを1か月毎に分割して Case F、あるいは Case C 又はそれ以上の主要な分潮で最小自乗法により直接分離
1年間データ	短周期の分潮であれば総て分離可能、最小自乗法により直接分離

ただし、ここで用いた潮位記録は計算機の中で作られた誤差を含まない理想的なものであって、潮汐以外の原因による水位変化は全然含まれていない。しかしながら、実際の潮位記録には、気圧変動、風の吹きよせ、波の効果、海流の影響等が含まれており複雑である。また、これらの影響は比較的振幅の小さな分潮の調和定数に大きく表われるものと考えられる。したがって、ここでの精度に対する量的な議論は計算機の中だけのものであって、実際の問題とは若干異なるものであることを考慮する必要がある。

3.4 気圧変動、欠測などによる調和解の誤差

実際の海の水位は、常に潮汐予報通りとは限らない。これは、潮汐の予報値そのものにも誤差が含まれていると思われるが、その他の要因、たとえば気圧変動、風の吹きよせによる水位上昇、異常潮位などによる差異も考えられる。特に、気圧変動による影響が最も大きいと考えられる。一般に高気圧と低気圧との気圧差は 20～30 mb 程度ある。1 mb の気圧差が水位変動に及ぼす影響は約 1 cm であるから、気圧変動の水位に及ぼす影響は無視できないものと考ええる。

ここでは、気圧変動が調和定数値に与える影響を調べるために、以下に述べる検討を行った。表-3に示す調和定数は気圧変化を考慮しない結果である。次に、潮位

記録から気圧変動による水位上昇（あるいは降下）量を考慮した値を用いて調和解を実施する。修正された潮位のデータは

$$\eta_{mod} = \eta_{ob} + (P_{ob} - \bar{P}) \quad (95)$$

で与えられる。ここにおいて

η_{mod} : 修正された潮高 (cm)

η_{ob} : 観測された潮高 (cm)

P_{ob} : 観測された気圧 (mb)

\bar{P} : 平均気圧 (mb)

である。表-12 に気圧変動の影響を考慮に入れた結果を示す。表-3の結果と比較すると、3月の K_1 潮の振幅が約 1 cm 変化したのが最大で、他の分潮については 5 mm 以下と、その変化が小さいことがわかる。また、3 か月間のデータを用いて計算した結果について比較したものが表-13である。気圧を考慮した場合としない場合の差異は、 S_2 潮において最大で、振幅が 4 mm、遅角が 2° 程度で、他の分潮の結果はほとんど同じである。以上のことより、気圧変動が調和解に与える影響はあまり大きいものではないと考えられる。これは、気圧差による水位上昇（降下）の大きさは 20～30 cm と非常に大きいものに対して、その変動の周期が、たとえば春・秋の移動性高気圧の場合を考えると、約 1 週間と潮汐の周期と大きく異っているために、その影響が取り除けるものと考えられる。当然のことながら、気圧変動を考慮に入れた場合、調和解の結果の精度は上がるものと考えられるが、計算の入力データの量が 2 倍になること、短期間のデータでは計算そのものに若干の誤差が含まれること、さらに長期間のデータになれば、気圧変動の効果は除去され易いこと等を考えると、気圧についてはあまり神経質になる必要はないと思われる。ただし、振幅の小さな分潮まで精度良く分離するためには、観測期間を十分に長くするとともに、気圧変動の影響を考慮する必要があるであろう。

次に、データの欠測についての考察を加える。潮流観測の場合、複数の流速計を海中に設置する必要があるために、長期間の観測が難しいばかりでなく、欠測を含んだデータとなることがよくある。この場合、再度同様な調査を行うことが望ましいが、予算の関係上再調査は困難であることが多い。このような観点から、データに欠測があった場合の調和解の結果の誤差について若干の考察を行った。

表-14に、15日間のデータにおいて3日間の欠測があった場合、5日間の欠測があった場合、および7日間の欠測があった場合についての結果を示す。3日間の欠

表-12 気圧変動を考慮に入れた調和解 (1 か月間)

分 潮		1978年3月		1978年11月		1978年12月		1979年1月	
		H	κ	H	κ	H	κ	H	κ
1	Q_1	4.08	181.9	4.22	169.4	3.79	166.4	3.64	186.8
2	O_1	19.70	181.9	18.95	179.2	18.18	178.3	17.70	180.8
3	K_1	23.76	203.8	26.16	199.7	27.23	203.0	27.69	204.8
4	μ_2	4.16	159.0	3.76	154.8	4.14	150.0	5.40	161.8
5	N_2	6.92	202.7	7.39	201.2	5.17	200.1	6.23	212.4
6	M_2	31.65	202.7	30.37	213.2	30.15	211.9	32.01	212.9
7	L_2	0.93	196.1	1.59	241.3	0.49	269.2	0.37	247.2
8	S_2	18.43	227.7	17.86	218.0	17.70	217.2	18.16	223.8
9	M_4	1.25	16.9	1.36	34.3	1.28	26.9	1.47	22.3
10	MS_4	1.59	64.1	1.04	38.0	0.86	62.8	0.88	86.2
11	P_1	7.87	204.5	8.66	200.4	9.01	203.7	9.17	205.5
12	K_2	5.01	227.0	4.86	217.3	4.82	216.5	4.94	223.1
13	ν_2	1.34	202.1	1.43	200.5	1.00	199.4	1.21	211.8

表-13 気圧変動を考慮に入れた調和解 (3 か月間)

分 潮		考慮したケース		無視したケース	
		H	κ	H	κ
1	Q_1	3.99	177.5	3.97	176.2
2	O_1	18.97	179.5	18.98	179.5
3	P_1	9.01	200.5	8.94	199.2
4	K_1	26.05	204.1	25.74	203.7
5	μ_2	4.45	155.6	4.50	155.7
6	N_2	6.81	209.0	6.82	209.0
7	ν_2	0.85	274.6	0.83	275.9
8	M_2	30.84	212.9	30.80	213.0
9	L_2	0.66	276.2	0.63	277.5
10	S_2	18.40	219.9	18.81	221.8
11	K_2	5.61	215.4	5.60	216.1
12	M_4	1.40	27.0	1.41	27.6
13	MS_4	0.90	59.3	0.90	60.6

測の場合の振幅の差異が最大1.5 cm程度、また7日間の欠測の場合が最大3.5 cm程度であった。遅角については、振幅の小さな分潮の場合には、かなり大きな差異となって現われているが、主要四分潮の場合にはそう大きな差異とはなっていない。

1 か月間データについての同様の検討結果を表-15に示す。この表より、観測期間の1/2の15日間の欠測の場合には、計算結果に大きな違いが現われるが、約1/4の7日間程度の欠測では、振幅の誤差は1 cm以内にはい

っており、そう大きな差異はないものと考えられる。

これらの欠測による誤差の程度を1978年1月から6月までのデータに人為的に欠測期間を作り見積った。その結果を図-25に示す。図中の誤差の見積りは式(96)によった。

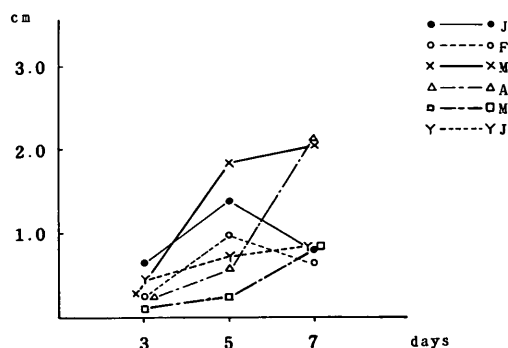


図-25(a) 欠測による誤差 (15日間観測の場合)

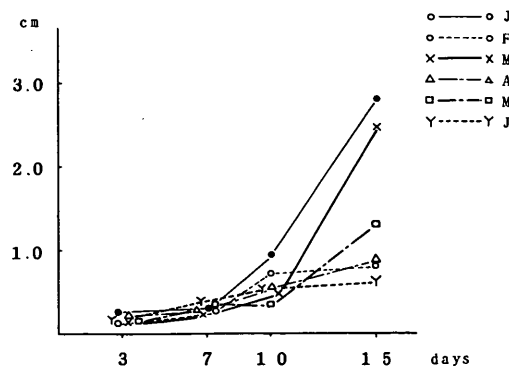


図-25(b) 欠測による誤差 (1 か月間観測の場合)

表-14 欠測がある場合(15日間データ)

1978年1月		欠測なし		3日欠測		5日欠測		7日欠測	
分	潮	H	κ	H	κ	H	κ	H	κ
1	Q_1	3.86	152.2	4.02	151.8	3.04	142.4	3.93	110.9
2	O_1	20.31	180.5	19.98	180.1	18.59	180.0	22.73	179.6
3	K_1	25.96	200.2	25.64	200.6	24.24	201.8	26.11	202.7
4	N_2	9.05	168.9	8.43	176.1	8.36	182.2	9.08	176.3
5	M_2	31.10	219.6	32.09	220.0	32.56	220.6	31.25	221.3
6	S_2	17.10	213.8	18.53	211.3	19.87	211.8	16.80	209.2
7	M_4	1.95	7.6	1.51	1.0	0.84	35.48	2.15	339.2
8	MS_4	0.94	96.5	1.37	113.6	1.90	130.8	1.56	73.1
9	P_1	8.59	200.9	8.49	201.4	8.02	202.6	8.64	203.4
10	K_2	4.64	213.0	5.04	210.6	5.40	211.1	4.57	208.4
1978年2月		欠測なし		3日欠測		5日欠測		7日欠測	
分	潮	H	κ	H	κ	H	κ	H	κ
1	Q_1	2.64	201.5	2.99	193.0	1.10	192.5	3.52	183.7
2	O_1	21.59	178.1	21.81	168.8	21.73	173.0	21.19	169.1
3	K_1	28.42	199.0	28.40	199.3	30.87	196.1	28.73	199.2
4	N_2	10.09	169.0	10.10	156.7	10.09	173.6	9.28	149.2
5	M_2	27.81	213.9	28.22	204.4	28.41	214.9	29.38	205.3
6	S_2	19.69	222.1	20.15	220.7	20.57	222.6	19.54	222.2
7	M_4	1.56	29.8	1.20	4.7	1.47	10.8	1.51	6.5
8	MS_4	1.27	101.1	1.24	109.6	0.86	99.8	1.55	114.4
9	P_1	9.41	199.7	9.40	199.3	10.22	196.9	9.51	199.2
10	K_2	5.36	221.3	5.48	220.7	5.60	221.9	5.31	222.2

表-15 欠測がある場合(1か月間データ)

1978年1月		欠測なし		3日欠測		7日欠測		10日欠測		15日欠測	
分	潮	H	κ	H	κ	H	κ	H	κ	H	κ
1	Q_1	3.30	176.7	2.98	174.1	3.22	163.9	3.39	139.3	4.67	105.1
2	O_1	20.40	180.9	19.94	180.8	20.55	180.6	21.66	178.0	24.65	178.5
3	K_1	26.01	202.6	25.78	203.6	25.71	204.3	24.75	205.0	25.25	203.2
4	μ_2	4.09	159.9	3.60	159.0	3.21	154.8	2.29	145.6	5.58	120.6
5	N_2	6.88	210.4	7.00	213.8	6.62	214.6	5.59	215.8	12.47	192.8
6	M_2	30.29	212.8	30.52	213.5	30.27	213.0	30.25	210.9	33.39	230.4
7	L_2	1.18	317.0	1.03	334.3	1.22	334.7	1.79	2.6	7.07	252.8
8	S_2	18.67	222.8	19.01	222.0	19.16	221.4	20.14	222.2	19.48	208.5
9	M_4	1.63	18.1	1.44	21.2	1.48	12.4	1.45	0.2	1.54	332.6
10	MS_4	1.12	83.5	1.29	88.7	1.40	76.2	1.73	76.8	1.68	101.5
11	P_1	8.61	203.4	8.53	204.3	8.51	205.1	8.19	205.7	8.36	204.0
12	K_2	5.08	222.1	5.17	221.3	5.21	220.7	5.48	221.5	5.30	207.8
13	ν_2	1.33	209.7	1.36	213.2	1.28	213.9	1.08	215.1	2.42	192.2
1978年2月		欠測なし		3日欠測		7日欠測		10日欠測		15日欠測	
分	潮	H	κ	H	κ	H	κ	H	κ	H	κ
1	Q_1	4.35	160.1	4.26	166.2	4.46	159.3	5.18	149.8	4.29	169.8
2	O_1	19.78	177.7	19.53	178.7	20.06	179.3	20.57	181.4	20.51	175.8
3	K_1	27.65	204.3	27.30	204.5	26.94	204.3	27.50	204.0	28.25	203.4
4	μ_2	3.37	157.7	3.27	155.4	3.21	146.8	2.16	144.1	3.70	123.0
5	N_2	8.08	204.5	8.01	205.1	7.67	202.5	6.47	207.4	9.27	185.7
6	M_2	30.54	209.4	30.49	209.4	30.97	209.1	31.32	206.6	31.11	215.9
7	L_2	0.84	247.0	0.84	248.1	0.77	216.3	1.10	135.6	2.83	281.6
8	S_2	18.85	227.6	18.83	227.4	18.92	228.8	19.54	231.8	20.06	225.7
9	M_4	1.43	15.6	1.34	12.5	1.39	7.6	1.37	0.8	1.24	345.1
10	MS_4	1.37	77.6	1.27	81.0	1.42	78.9	1.59	82.5	1.56	98.8
11	P_1	9.15	205.0	9.04	205.2	8.92	205.0	9.10	204.7	9.35	204.1
12	K_2	5.13	226.8	5.12	226.6	5.15	228.1	5.32	231.1	5.46	224.9
13	ν_2	1.57	203.8	1.55	204.5	1.49	201.9	1.26	206.7	1.80	185.1

$$E = \left\{ \frac{1}{N} \sum_{i=1}^N (h_i - H_i)^2 \right\}^{1/2} \quad (96)$$

ここにおいて、

E : 欠測による振幅の平均的な誤差

N : 調和分解の分潮数

h_i : 欠測があった場合の分潮 i の振幅

H_i : 欠測がない場合の分潮 i の振幅

を示す。この図より、15日間観測の場合には3日程度、1か月間観測の場合には7日程度の欠測であるならば、0.5～1 cmの誤差の範囲におさまるものと期待される。したがって、短期間の観測において1/4程度のデータの欠測した場合の調和分解は、結果の精度が落ちることは避けられないとしても可能であると考えられる。

以上述べた結果は、あくまでも試算であって厳密な誤差の検討ではない。欠測に対する精度の見積りはかなり複雑な問題である。それは、欠測が連続して起った場合、あるいは断続的に起った場合、また欠測の時期が大潮の場合あるいは小潮の場合など数多くの欠測の可能性があり、その欠測の仕方によって誤差の程度が変化するもの

と思われる。ここでは、3～4通りの場合の欠測例について計算を実施したのみにすぎない。もちろん、精度上から言っても、欠測はないことが望ましいことは言うまでもない。また、欠測が生じた場合には、結果にそのことを明記する必要があるであろう。

3.5 長期間の観測結果に基づく調和定数の変動

これまで、比較的短期間での観測データについての調和分解の誤差について述べた。これは、1年間のデータがあれば、計算法による誤差は非常に小さくなるためである。しかしながら、実際の長期間の潮位記録から、1年間毎にデータを分割し、その各々について調和分解を実行すると、必ずしも同じ調和定数を得るとは限らない。表-16に久里浜湾の10年間の潮位記録を1年毎に分割して調和分解した結果を示す。長周期潮の S_a , S_{aa} 潮については変動幅が大きく、あまり良い精度とは言えない。短周期潮については、 π_1 , L_2 , T_2 潮を除いて、ほぼ満足できる結果であると思われる。表-16の結果から、主要四分潮についての振幅および遅角の変化の様子を図-26(a), (b)に示す。1972年の結果を除いて、変動の

表-16 10年間の調和定数の変化(久里浜湾)

		1971		1972		1973		1974		1975	
		H	κ	H	κ	H	κ	H	κ	H	κ
1	S_a	10.87	169.8	10.70	174.9	6.99	169.2	10.20	145.8	11.48	188.3
2	S_{aa}	7.06	293.6	3.47	261.4	3.04	62.7	1.67	351.7	2.14	280.1
3	M_m	0.47	262.2	1.36	306.0	1.09	8.3	1.71	161.4	0.28	146.5
4	M_{sf}	2.39	219.4	1.46	3.3	1.29	250.5	2.42	325.0	0.60	259.0
5	M_f	1.16	145.0	1.30	176.2	0.65	52.1	1.87	94.3	1.02	259.9
6	Q_1	3.97	146.9	3.94	160.7	3.82	149.8	3.65	153.2	3.98	147.4
7	O_1	18.23	158.4	17.36	159.6	18.72	158.5	18.62	159.4	18.46	159.2
8	M_1	0.90	170.1	0.59	235.3	0.85	253.6	0.66	293.1	0.77	333.3
9	π_1	0.50	202.2	1.19	275.7	0.56	209.3	0.35	183.4	0.43	205.9
10	P_1	7.48	175.6	8.11	178.4	7.77	174.9	7.54	172.7	7.57	173.3
11	K_1	23.38	178.0	22.74	175.3	23.50	177.0	23.40	177.2	23.30	176.9
12	J_1	1.31	198.8	1.61	173.3	1.28	192.2	1.14	183.5	1.15	201.2
13	$2N_2$	0.59	165.8	2.19	146.9	0.79	144.1	0.74	180.4	0.80	154.7
14	μ_2	0.86	147.4	0.91	122.2	0.93	149.1	1.42	166.6	0.91	149.7
15	N_2	5.10	137.8	4.93	163.7	5.62	141.4	5.34	144.0	5.71	146.2
16	ν_2	1.03	145.2	2.38	139.8	1.24	141.5	1.30	158.3	1.02	157.5
17	M_2	35.80	148.0	33.18	146.7	35.95	147.1	35.44	147.7	35.69	148.2
18	L_2	1.17	140.0	2.16	221.9	1.00	163.7	1.55	165.9	1.40	163.4
19	T_2	0.89	154.5	0.86	248.4	1.07	164.3	1.06	139.6	0.09	157.3
20	S_2	16.99	176.8	17.29	177.1	17.20	176.1	17.19	175.7	17.22	176.4
21	K_2	4.52	169.8	4.47	190.4	4.62	170.2	4.51	176.2	4.81	170.9
22	M_3	0.48	131.5	0.51	314.2	0.52	320.9	0.56	320.0	0.51	327.8
23	M_4	0.14	341.2	0.04	1.34	0.09	40.6	0.04	98.9	0.07	110.3
24	MS_4	0.15	27.2	0.23	4.4	0.20	2.4	0.18	2.9	0.14	19.8
25	M_6	0.05	314.9	0.06	113.0	0.04	340.9	0.02	299.1	0.02	53.0
26	$2MS_6$	0.03	318.5	0.03	102.7	0.04	30.1	0.09	121.4	0.08	76.1
27	$2SM_6$	0.06	63.6	0.05	316.9	0.02	217.0	0.03	89.3	0.10	81.4
28	M_8	0.02	253.9	0.03	354.3	0.03	117.6	0.04	323.1	0.02	74.2
Mean level		165.35		169.9		169.5		168.7		161.9	

表-16 (2)

		1976		1977		1978		1979		1980*	
		H	κ	H	κ	H	κ	H	κ	H	κ
1	S_a	846	1660	855	1773	794	1679	846	1663	1012	1882
2	S_{sa}	134	769	160	1976	318	2972	052	3378	184	1599
3	M_m	049	1684	104	1212	042	1331	186	435	122	501
4	M_{sf}	090	705	152	2547	108	3459	173	326	044	1823
5	M_f	128	1607	101	1162	131	424	067	3508	128	2377
6	Q_1	388	1473	368	1526	377	1454	378	1470	380	1467
7	O_1	1823	1585	1878	1581	1845	1572	1833	1579	1846	1577
8	M_1	099	60	096	499	087	965	096	1405	076	1679
9	π_1	049	2034	039	2344	039	1960	036	1998	057	2076
10	P_1	771	1732	776	1737	777	1737	765	1765	765	1741
11	K_1	2315	1759	2323	1758	2344	1757	2335	1765	2352	1768
12	J_1	099	2028	137	1963	136	1991	122	1959	102	1946
13	$2N_2$	079	1534	076	1440	086	1583	071	1594	068	1546
14	M_2	089	1574	091	1590	098	1601	096	1560	075	1480
15	N_2	560	1473	550	1476	535	1452	538	1467	522	1454
16	ν_2	122	1482	095	1468	106	1396	095	1390	106	1319
17	M_2	3585	1478	3613	1475	3614	1478	3613	1488	3604	1481
18	L_2	141	1474	144	1532	135	1464	128	1567	121	1456
19	T_2	104	1574	101	1606	091	1517	109	1520	102	1537
20	S_2	1721	1767	1717	1764	1720	1763	1704	1772	1702	1761
21	K_2	465	1739	460	1714	475	1708	485	1718	459	1743
22	M_3	062	3212	052	3186	055	3219	055	3185	063	3291
23	M_4	012	308	012	476	013	533	025	494	019	769
24	MS_4	012	67	021	218	016	61	020	349	026	322
25	M_6	007	269	002	487	006	3502	006	264	007	3416
26	$2MS_6$	007	767	006	582	010	612	016	854	010	677
27	$2SM_6$	005	207	002	123	006	996	007	1263	006	905
28	M_6	006	979	006	1241	003	2858	002	968	007	2304
Mean level		164.01		161.50		164.07				161.61	

* 1980年については1979. 9. 28～1980. 9. 30のデータを使用

範囲は、振幅については1 cm以内、遅角について3°以内におさまっている。これは、1か月間データについての調和分解の結果（図-6、および図-7）と比較すると、変動幅がかなり小さくなっていることがわかる。田辺・肥後⁹⁾による瀬戸内海での主要四分潮の調和定数の

計算結果をみても、振幅および遅角の標準偏差が、それぞれ1 cm以内、2度以内となっている。したがって、この程度の変動は、1年間という長い期間のデータを用いたとしても、避けることができない誤差と考えられる。

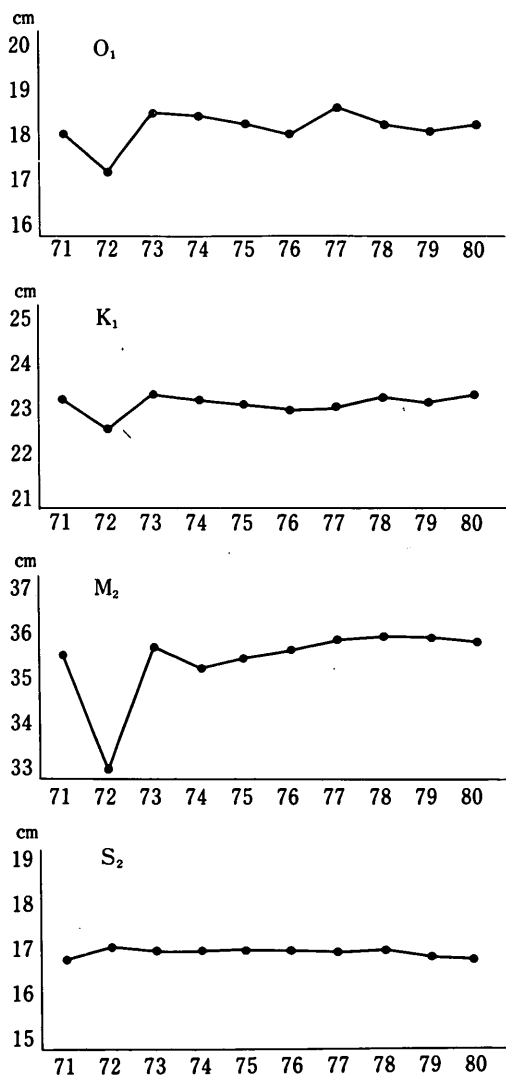


図-26(a) 1か年データによる調和定数の変化(振幅)

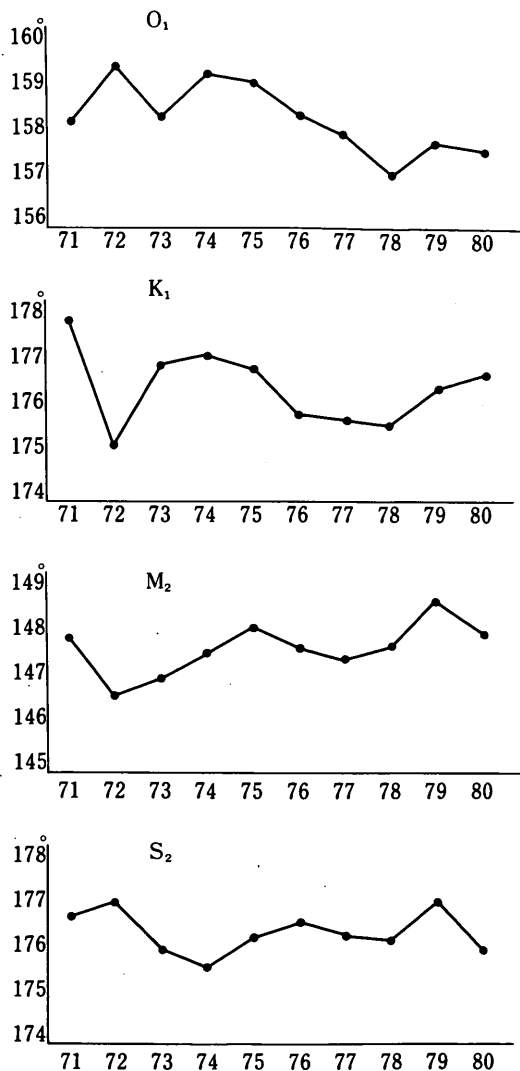


図-26(b) 1か年データによる調和定数の変化(遅角)

4. 潮流の調和分解

4.1 潮流の調和分解

潮流とは、潮汐の干満にともなって水平方向に周期的に運動する海水の流動であって、潮汐の場合と同様に各々の分潮に調和分解が可能である。調和分解の方法は、潮汐の場合と全く同じである。ただし、潮流の場合には海水の流れの速さ(流速)と海水の流れ去る方向(流向)の2要素がある。したがって、潮流の場合には、東西および南北方向の2成分に分解し、その各々について調和分解する必要がある。

前にも述べたように、潮流の長期観測は非常に難しい。

このため、短期間のデータによる調和分解が一般的である。また従来は、1昼夜(25時間)観測ですましていたのが現状である。ここでは、潮流の1昼夜観測の場合について述べる。いま、潮流の東方成分を U 、北方成分を V とすると、次のように表わされる。

$$U = U_0 + U_1 \cos(\sigma t - \mu_1) + U_2 \cos(2\sigma t - \mu_2) + U_3 \cos(4\sigma t - \mu_3) \quad (97)$$

$$V = V_0 + V_1 \cos(\sigma t - \nu_1) + V_2 \cos(2\sigma t - \nu_2) + V_3 \cos(4\sigma t - \nu_3) \quad (98)$$

ここにおいて

U_0, V_0 : 1 昼夜程度では変化しない恒流成分

U_1, V_1 : 日周潮流 (M_1)

U_2, V_2 : 半日周潮流 (M_2)

U_3, V_3 : 1/4 日周潮流 (M_4)

を示す。なお、ここで分潮流の速度であるが、日周潮流の主なるものは K_1 潮と O_1 潮であるから、この二つを合成したものが日周潮流であると考え、約 25 時間となる。これは、 K_1 潮の周期が 23.934 時間、 O_1 潮の周期が 25.819 時間、そして K_1 と O_1 潮の起潮力の比が 0.2655 : 0.1866 であるから、この二つの分潮を合成したものの周期は

$$\frac{23.934 \times 0.2655 + 25.819 \times 0.1866}{0.2655 + 0.1866} = 24.7 \quad (99)$$

となり、約 25 時間となる。

同様の考えが半日周潮流の M_2, S_2, N_2, K_2 潮にもあてはまり、日周潮流の半分の約 12.5 時間の周期となる。また、1/4 日周潮流の場合はその半分の約 6.25 時間の周期となる。ただし、一昼夜観測の場合は、これらの主要な分潮が分離できないために不十分なデータとなる。

調和分解の方法は潮汐の場合と同じく、最小自乗法によって行う。また、潮流の観測期間が 15 日間、あるいは 1 か月間のような場合には、主要四分潮あるいは 10 ~ 13 分潮に分解することが可能である。

潮流の場合は、潮汐の場合と異なって、種々の要因が容易に流れに影響を及ぼすために、調和分解の精度は極端に悪くなるものと考えられる。また、海域によっては、潮流成分よりも他の要因（たとえば海流、沿岸流）による流れの成分の方が大きい場合もある。したがって、潮流観測はできる限り長い期間の観測が望ましい。

表-17 に示すのは、大阪湾において 15 日間の潮流観測を年 4 回行った時の潮流の主要四分潮の調和定数である。東方成分、北方成分、および潮流橢円の長軸方向、短軸方向について、それぞれ流速の振幅および遅角を示す。潮流橢円の長軸方向の振幅、遅角の変化を図-27 に示す。大阪湾のように潮流成分が卓越している海域においても、15 日間程度の観測による潮流の調和定数値には、流速で 2 ~ 3 cm、遅角で 20 ~ 30° 前後の変動がみられる。また、物質の拡散パターンに大きな影響を与える恒流成分は、2 ~ 6 cm/s の南南西向きの流れとなって

表-17 潮流の調和定数¹⁰⁾ (大阪湾, 15 日間観測)

	東方成分		北方成分		長 軸 方 向			短 軸 方 向		
	U	κ	V	κ	U	θ	κ	V	θ	κ
冬の観測										
O_1	2.06	114.5	2.08	107.3	3.53	215.6	289.7	0.21	305.6	19.7
K_1	3.34	161.5	4.08	151.2	5.25	219.3	335.3	0.47	309.3	65.3
M_2	5.54	215.6	10.38	220.6	11.76	208.1	39.5	0.43	298.1	309.5
S_2	2.31	231.7	4.56	252.2	5.06	206.0	68.2	0.73	296.0	338.2
恒 流	-0.60		-2.24							
春の観測										
O_1	2.40	99.3	3.01	151.1	3.49	214.8	313.2	1.63	304.8	223.2
K_1	5.46	178.7	6.31	131.4	7.66	219.0	330.6	3.30	309.0	60.6
M_2	5.59	195.5	11.19	226.4	12.23	204.4	40.9	2.63	294.4	310.9
S_2	1.59	194.6	3.21	249.3	3.36	198.5	62.3	1.24	288.5	332.3
恒 流	-2.93		-5.77							
夏の観測										
O_1	1.8	111.5	3.6	123.9	4.0	206.6	301.4	0.3	296.6	211.4
K_1	4.7	182.8	4.1	150.5	6.0	229.9	349.3	1.7	319.9	79.3
M_2	5.1	221.4	9.1	233.7	10.4	208.7	51.0	1.0	298.7	321.0
S_2	2.1	219.8	2.6	223.2	3.3	218.8	41.8	0.1	308.8	311.8
恒 流	-1.8		-2.5							
秋の観測										
O_1	2.4	153.1	2.4	101.7	3.0	225.6	307.9	1.5	315.6	37.9
K_1	3.7	162.7	4.8	150.5	6.1	217.5	335.0	0.6	307.5	65.0
M_2	5.2	217.9	9.5	226.4	10.8	208.4	44.5	0.7	298.4	314.5
S_2	2.0	221.7	2.8	248.5	3.3	215.6	59.3	0.8	305.6	329.3
恒 流	-4.3		-3.6							

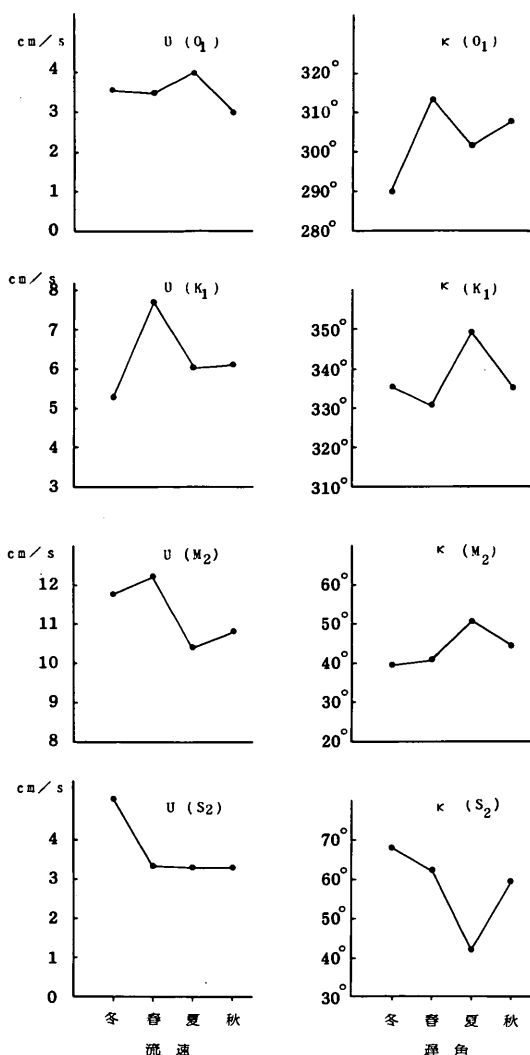


図-27 潮流楕円の長軸方向の流速および遅角

いる。このように、潮流の調和定数は、潮汐のそれと比べて変動幅が大きい。

一般に、ある海域の流況を調査しようとする場合に、数台(7~10台)の流速計を設置する。これら全測点において、長期間の連続観測をすることが望ましいが、経費的に困難な場合がある。しかしながら、潮流の性質を把握するためには、少なくとも2~3の測点では15日間あるいは1か月間の連続観測が必要である。したがって、最近ではこれらを併用して、2~3点で15昼夜、その他の5~6点で1昼夜の観測を実施している例がよくみられる。

4.2 潮流楕円

潮流の調和定数が決定すれば、これらを合成した流れ

と実際に観測された潮流とを比較して、調和定数値の妥当性、あるいは潮流の性質を考察する必要がある。このような場合には、潮流のホドグラフを描くか、あるいは潮流楕円を描くのがよい方法である。

25時間観測の場合について述べる。物質の拡散のパターンに大きな影響を与える恒流成分については、東方成分を U_0 、北方成分を V_0 とすると、

$$W_0 = \sqrt{U_0^2 + V_0^2}, \quad \tan \theta_0 = \frac{U_0}{V_0} \quad (100)$$

で示される。ここに、

W_0 : 恒流成分の流速の絶対値

θ_0 : 流向(流れ去る方向を真北より時計廻りに測った角度)

である。

次に、日周潮流成分について示す。日周潮流の東方成分および北方成分はそれぞれ

$$\text{東方成分} = U_1 \cos(\sigma t - \mu_1) \quad (101)$$

$$\text{北方成分} = V_1 \cos(\sigma t - \nu_1) \quad (102)$$

によって表わされるから、流速 W_1 および流向 θ_1 は

$$W_1 = \sqrt{U_1^2 \cos^2(\sigma t - \mu_1) + V_1^2 \cos^2(\sigma t - \nu_1)} \quad (103)$$

$$\theta_1 = \tan^{-1} \left(\frac{U_1 \cos(\sigma t - \mu_1)}{V_1 \cos(\sigma t - \nu_1)} \right) \quad (104)$$

で与えられる。式(103)の流速を表わすベクトルの先端を時間的に連結すると、ひとつの楕円となる。このことは、東方を x 、北方を y とし時刻 t を消去すれば

$$\begin{aligned} V_1^2 x^2 - 2U_1 V_1 \cos(\mu_1 - \nu_1) xy + U_1^2 y^2 \\ = U_1^2 V_1^2 \sin^2(\mu_1 - \nu_1) \end{aligned} \quad (105)$$

と、楕円を示す方程式となることからわかる。この楕円を潮流楕円という。式(103)において、 $dW_1/dt = 0$ 、すなわち潮流の最大・最小値を示す t の値を t_0 とすると

$$\tan 2\sigma t_0 = \frac{U_1^2 \sin 2\mu_1 + V_1^2 \sin 2\nu_1}{U_1^2 \cos 2\mu_1 + V_1^2 \cos 2\nu_1} \quad (106)$$

となる。また、この2つの t_0 の値において、 $d^2 W_1 / dt^2 < 0$ 場合が極大値を、 $d^2 W_1 / dt^2 > 0$ の場合が極小値を示す。

また、流向の回転方向は

$$\frac{d\theta_1}{dt} = \frac{\sigma U_1 V_1 \sin(\mu_1 - \nu_1)}{U_1^2 \cos^2(\sigma t - \mu_1) + V_1^2 \cos^2(\sigma t - \nu_1)} \quad (107)$$

において、 $d\theta_1/dt > 0$ 、すなわち $\sin(\mu_1 - \nu_1) > 0$ であるならば時計廻り、また逆に $d\theta_1/dt < 0$ 、すなわち $\sin(\mu_1 - \nu_1) < 0$ であるならば反時計廻りである。特に、 $\sin(\mu_1 - \nu_1) = 0$ の時の潮流楕円は一本の直線となり、流れは直線上を往復することになる。

以上述べたことは、半日周潮流および1/4日周潮流についても全く同様である。

大阪湾で実際に観測された潮流の hodograph を図-28 に示す。調和解から得られた恒流、日周潮流、半日周潮流、1/4

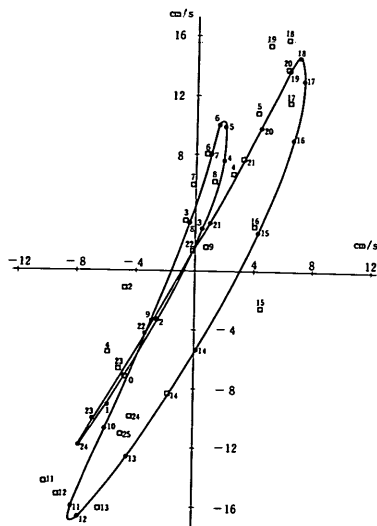


図-28 潮流の hodograph (●計算値, □観測値)

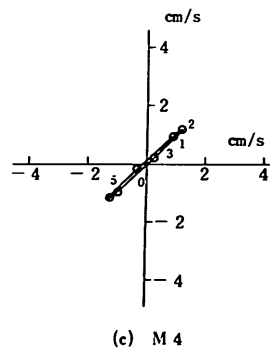
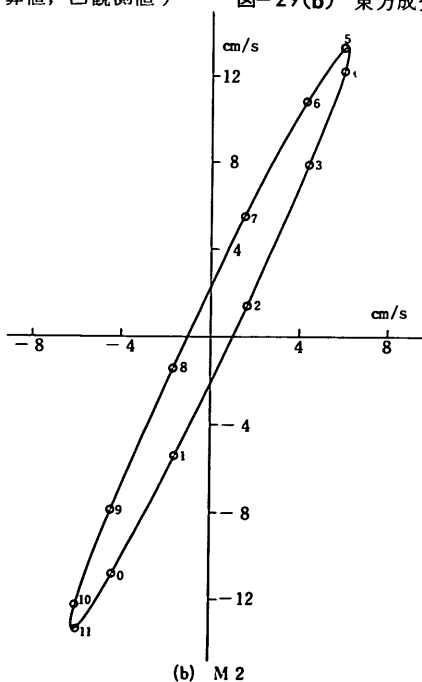
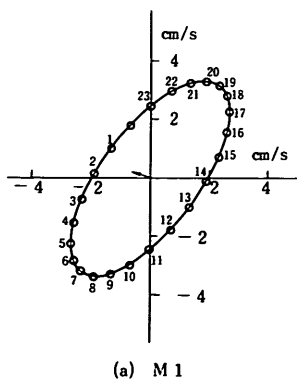


図-30 潮流楕円 (1 昼夜観測)

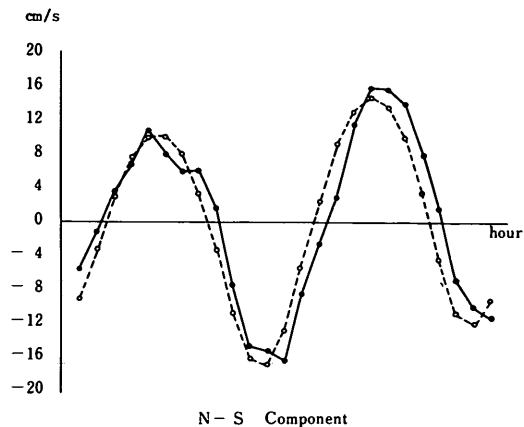


図-29(a) 北方成分 (—●— 観測値, ---○--- 計算値)

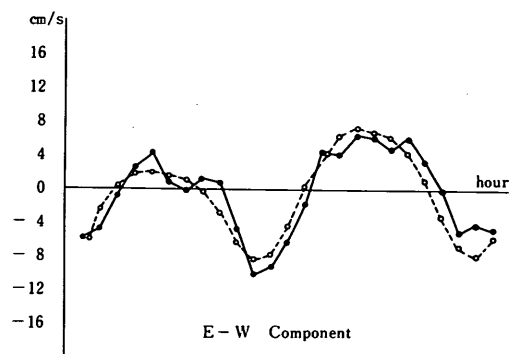


図-29(b) 東方成分 (—●— 観測値, ---○--- 計算値)

(b) M2

日周潮流の各成分を合成したものを曲線で示す。図中の丸印は、各々の1時間毎の時刻に対する合成流を、四角印は実際の観測値を示す。この結果を北方成分および東方成分分別に示したのが図-29(a), (b)である。多少の誤差は見られるが、主流の方向、最大流速の値等、潮流の性質をよく示した潮流ホドグラフであると考えられる。

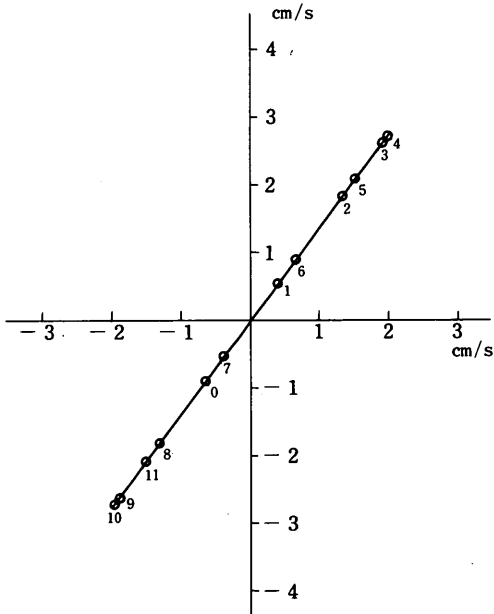


図-31(a) 潮流楕円 (O_1 潮 - 15 昼夜観測)

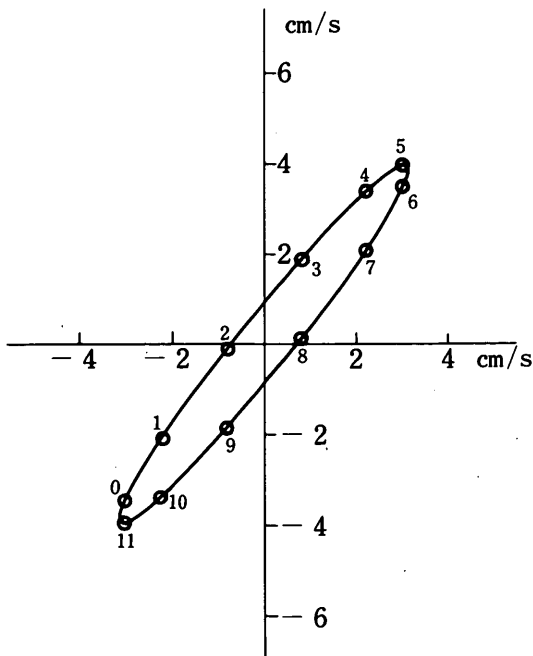


図-31(b) 潮流楕円 (K_1 潮 - 15 昼夜観測)

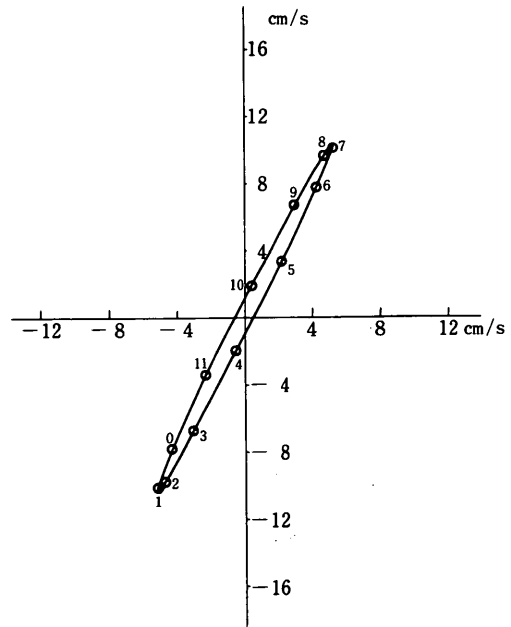


図-31(c) 潮流楕円 (M_2 潮 - 15 昼夜観測)

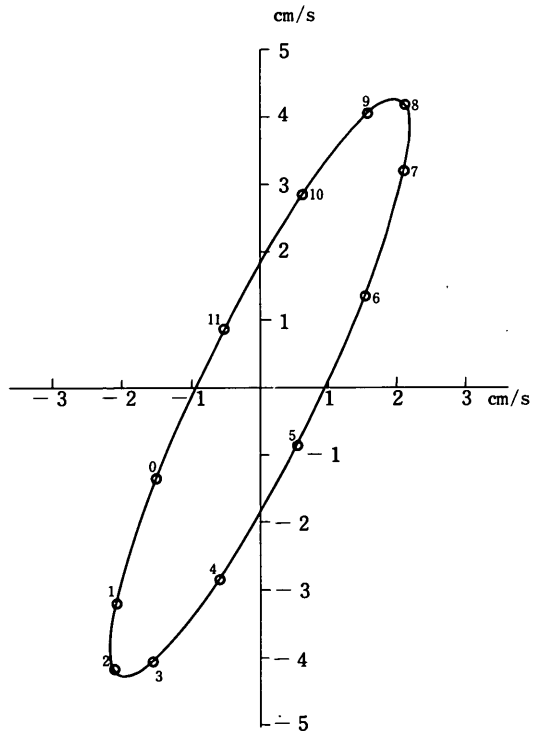


図-31(d) 潮流楕円 (S_2 潮 - 15 昼夜観測)

次に潮流の日周潮(M1), 半日周潮(M2), 1/4日周潮(M4)の潮流楕円をそれぞれ図-30に示す。図中の数字は約1.04時間毎(M1に対しては15°, M2に対しては30°, M4に対しては60°毎)の各々の成分の値を示す。これらの図より, この海域の潮流は半日周潮流が最も卓越していることがわかる。

次に, 潮流の15 昼夜観測から求めた主要四分潮の潮流楕円を図-31(a), (b), (c), (d)に示す。図中の数字は, 分潮の仮想天体が南中した時の流速を図中の点0で示し, 以下30°経過毎に, その値を示したものである。ここで示された潮流楕円の結果より, この海域での潮流はM₂潮成分が最も大きいことを示している。

潮流の性質を次の式によって分類⁵⁾する。

$$\text{半日周潮型} \quad \frac{K_1 + O_1}{M_2 + S_2} < 0.25 \quad (108)$$

$$\text{混合潮型} \quad 0.25 < \frac{K_1 + O_1}{M_2 + S_2} < 1.25 \quad (109)$$

$$\text{日周潮型} \quad \frac{K_1 + O_1}{M_2 + S_2} > 1.25 \quad (110)$$

この分類法にしたがって, 表-3および表-17に示された結果を代入すると, 潮汐の場合が平均0.95, 潮流の場合が平均0.66であった。このことより, 大阪湾の潮汐は日周潮型に近い混合潮型を示し, 潮流は比較的半日周潮型に近い混合潮型を示していることがわかる。

5. まとめ

最小自乗法による調和解の精度について, 観測期間の長さ, 分離する分潮数, 気圧変動の影響, さらに欠測による誤差などの検討を行った。ここで明らかになったことを, 箇条書きにして以下に示す。

- (1) 短期間の観測データを用いて調和解を行う場合に, 角速度の近い分潮の分離は平衡潮汐論により求められた各分潮間の振幅の比率が測定点においても成立するという仮定の下で行うことができる。
- (2) 15日間データの場合Case E (すなわち, 最小自乗法によってQ₁, O₁, K₁, N₂, M₂, S₂, M₄, MS₄の8分潮を分離し, 後にK₁とP₁潮, S₂とK₂潮を分離する方法)が最も精度が良い。
- (3) 同様に, 1か月間データの場合はCase Fが最も精度が高い。観測期間の長ささと精度良い調和定数の分離法については表-11に示す通りである。
- (4) 現地で得られた観測データの場合, 短期間では振幅の小さな分潮の精度はあまり良くない。したがって, Case E, あるいはCase Fの方法により計算し, そ

の結果より主要四分潮あるいはその他の主要な分潮の調和定数を用いるのが良いと思われる。

- (5) 気圧変動が調和定数に与える影響はあまり大きくない。最大でたかだか1 cm程度である。この影響は, 観測期間が長くなればさらに小さくなる。
- (6) 欠測による調和定数の誤差は, 15日観測および1か月観測の場合, 欠測期間が観測期間の1/4以下程度であるならば, あまり大きくない。
- (7) 1年間の観測記録による調和解は, 2~3の分潮を除いた短周期の分潮については, 比較的精度良く分離できる。主要な分潮に対する調和定数値の変動は, 振幅において1 cm以内, 遅角において3°以内である。しかし, 長周期潮については精度が悪い。
- (8) 潮流の調和解は潮汐の場合と全く同様にできる。ただし, 潮流の調和定数の変動は, 潮汐のそれに比べて大きい。これは, 流れには潮流以外の成分が数多く含まれており, その影響がかなり大きいためである。ここで行った検討は, 横浜港の調和定数を用いて計算機の中で潮汐を作成し, その結果を用いて最小自乗法による調和解の精度についての試算を行ったものである。したがって, ある程度長い期間のデータを用いると, 非常に小さな振幅の分潮まで精度良く分離可能であるという計算結果が得られている。しかしながら, 実際の潮位記録には種々の要因の誤差が含まれており, 振幅の小さな分潮については, あまり良い精度は期待できない。また, 実際の観測データを用いて行った検討は, 理論的でなく, 数少ないケースの試算にすぎない。したがって, 定性的な誤差については把握できたが, 定量的な検討はまだ不十分であると考えられる。

本資料では, 工学的に重要と思われる主要四分潮, あるいは主要な10分潮についての考察を主に行った。潮汐, あるいは調和解について, より詳細に知りたい場合には, 中野猿人の潮汐学⁴⁾, 小倉伸吉の潮汐¹¹⁾がよい参考書であると考えられるので, これらを参照されたい。

最後に, 本資料をまとめるに際し, 潮位記録のデータを提供していただいた, 港湾技術研究所の海象観測研究室, および運輸省第三港湾建設局の担当者の方々に感謝いたします。また, 調和解のプログラムの作成に際し, 当研究所プログラム開発室の横田技官, ならびに(株)三洋水路の堀口氏に多大の助言をいただいたことを感謝いたします。
(1980年11月29日受付)

参 考 文 献

1. Chamberlain, R. N. : Some practical applications of species analysis for numerical tidal model, Hydraulic Research Station, Wallingford, INT 142, 1975
2. 彦坂繁雄・赤木登・矢野雄幸：最小自乗法による潮汐調和分解とその精度について，水路部研究報告 1，1966
3. プログラムライブラリ（L 024）——潮汐・潮流の調和分解，港湾技術研究所，1979. 2
4. 中野猿人：潮汐学（復刻版），生産技術センター，1975
5. 彦坂繁雄：潮汐（海洋科学基礎講座——海洋物理Ⅲ）東海大学出版会，1971
6. Doodson, A. : The analysis of tidal observation, Phil. Trans. Royal Society of London, 227 A, 1928
7. Lien, San - Lang : Method of selection of constituents in harmonic analysis, Acta Oceanographica Taiwanica, Science Reports of the National Taiwan University, No.7, 1977. 12
8. 小田巻実：最小自乗法による短期潮汐調和分解の再検討，1980年秋季日本海洋学会要旨集，1980
9. 田辺弘道・肥後竹彦：潮汐調和定数の経年変化について，中国工業技術試験所報告，No.12，1980
10. 土砂による海水汚濁の予測方法——手法開発のための調査研究，運輸省第三港湾建設局神戸調査設計事務所，昭和54年3月
11. 小倉伸吉：潮汐，岩波全書，1934

港湾技研資料 No.369

1981・3

編集兼発行人 運輸省港湾技術研究所

発行所 運輸省港湾技術研究所
横須賀市長瀬3丁目1番1号

印刷所 株式会社 東京プリント